

DIAGNOSTIC TECHNOLOGIES FOR CULTURAL HERITAGE



INFN
CHNet
Istituto Nazionale di Fisica Nucleare
Cultural Heritage Network

Mariangela Cestelli Guidi

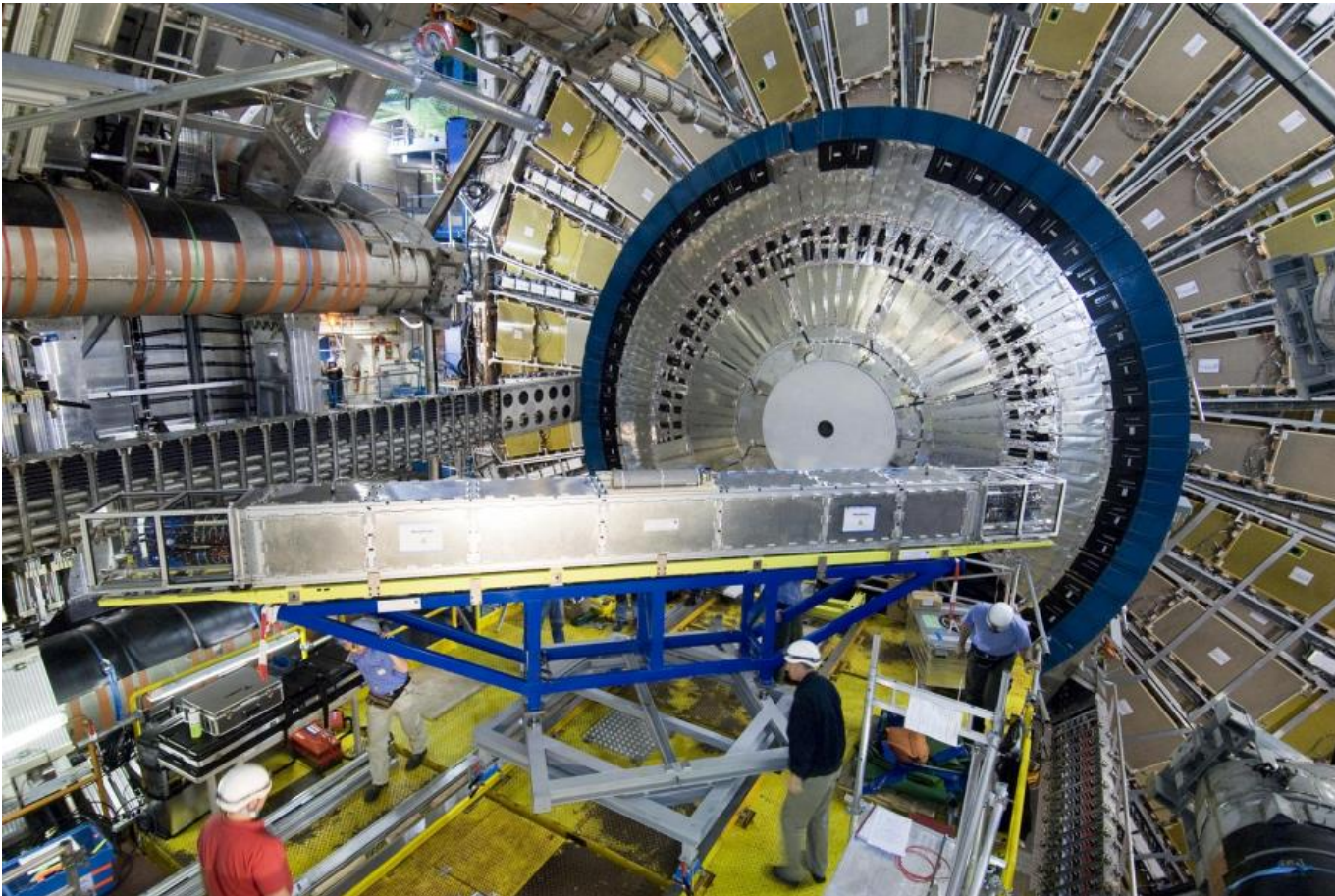
INFN - Laboratori Nazionali di Frascati

December 12, 2019

Outline

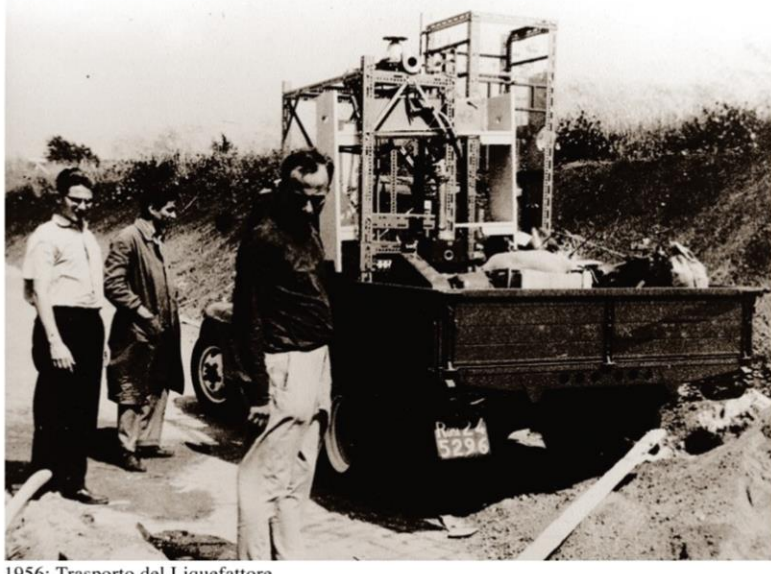
- INFN and the Cultural Heritage Network CHNet
- Synchrotron radiation for the study of materials for cultural heritage
- Portable instruments for non invasive diagnostic technologies @ LNF and Tor Vergata research centers

Istituto Nazionale di Fisica Nucleare (INFN)



<http://www.infn.it/it/>

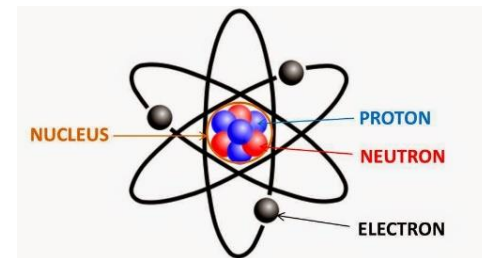
They are the largest laboratories in the INFN
The main feature is knowing how to build
particle accelerators. This school began in
1957, and continues until today.



<http://home.infn.it/immagini/picture.php?/552/tags/9-Inf>

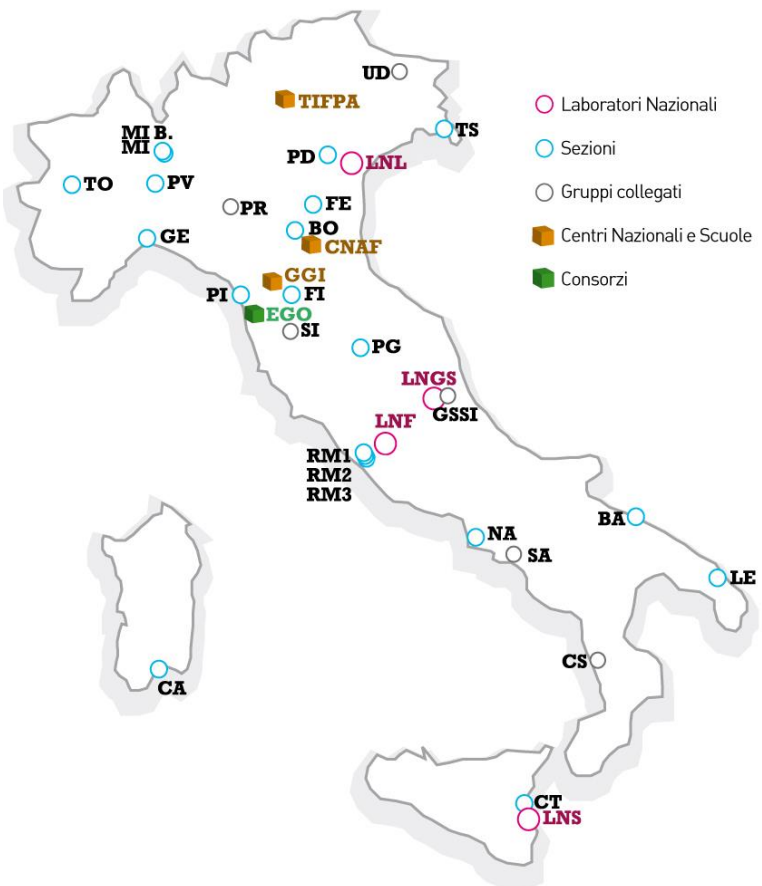


http://www.lnf.infn.it/edu/stagelnf/2009/relazioni_masterclass2009/milardi.pdf



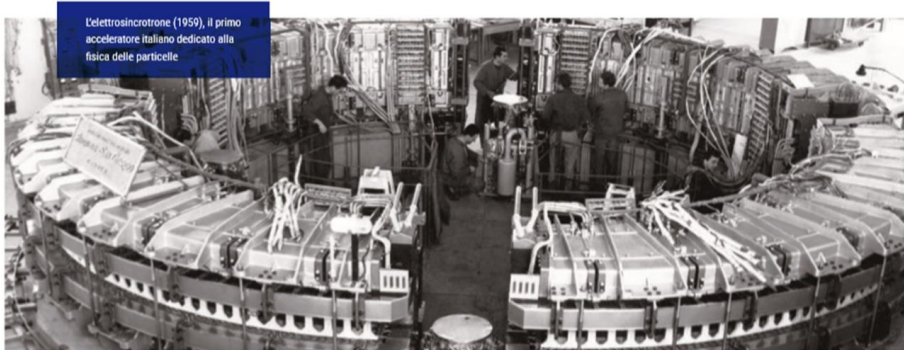
Particle accelerators were born to study the constituent elements of matter and the laws that regulate their interaction.

INFN - Frascati National Laboratories



Frascati National Laboratories

The first Italian research facility for the study of nuclear and the subnuclear physics with accelerator machines.



Elettronico sincrotrone (1959)



AdA (1961) primo acceleratore particelle-antiparticelle



ADONE The Big AdA (1969)



DAFNE (1995)

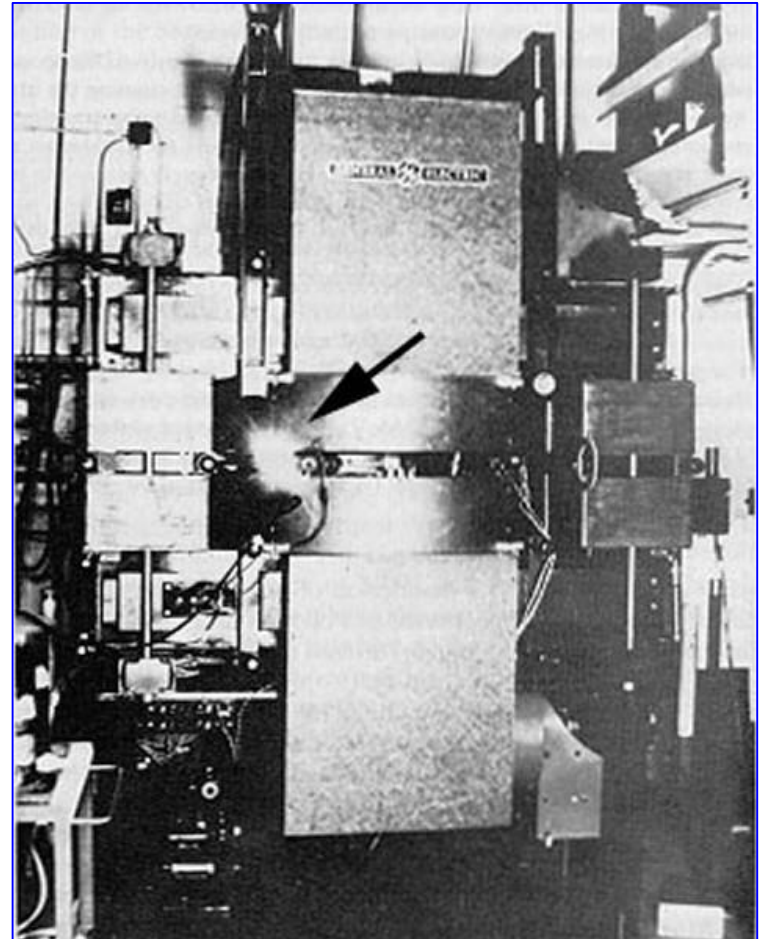
Light from accelerators

1887: Joseph Larmor and Alfred Lienard study the case of the radiation emitted by an electron in motion on a circular trajectory due to a centripetal acceleration.

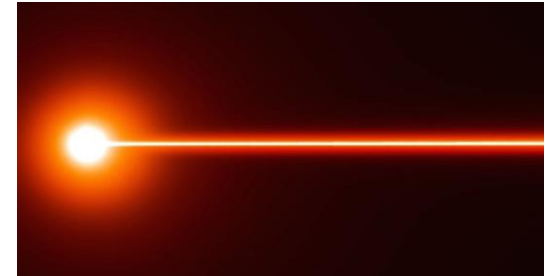
1947: The visible part of the radiation emitted by an accelerated electron beam in the small 70 MeV synchrotron of the Schenectady Laboratory in New York is observed for the first time.

This radiation, for a long time, was considered as a disturbance for accelerating machines: the accelerated particles lost part of their energy in the form of radiation and this was then supplied to them.

1947 General Electric Res. Lab. - 70 MeV Electron Synchrotron - N.Y. USA



In the second half of the 1950s, synchrotron radiation was used in a small number of laboratories around the world to conduct pioneering experiments



Today the situation has radically changed:

Synchrotron light becomes a truly unique radiation!

Thousands of researchers work in around 40 laboratories where accelerators are designed, built and optimized to produce synchrotron light.



*ESRF, Grenoble - Francia 6 GeV, C = 844 m
aperta agli utenti nel 1994*

Synchrotron Radiation Sources in the world



Elettra (2.4 GeV) - Trieste

DIAMOND (3 GeV) - UK

SESAME (2.5 GeV) -
Jordan

In construction - Ultimate SR facilities



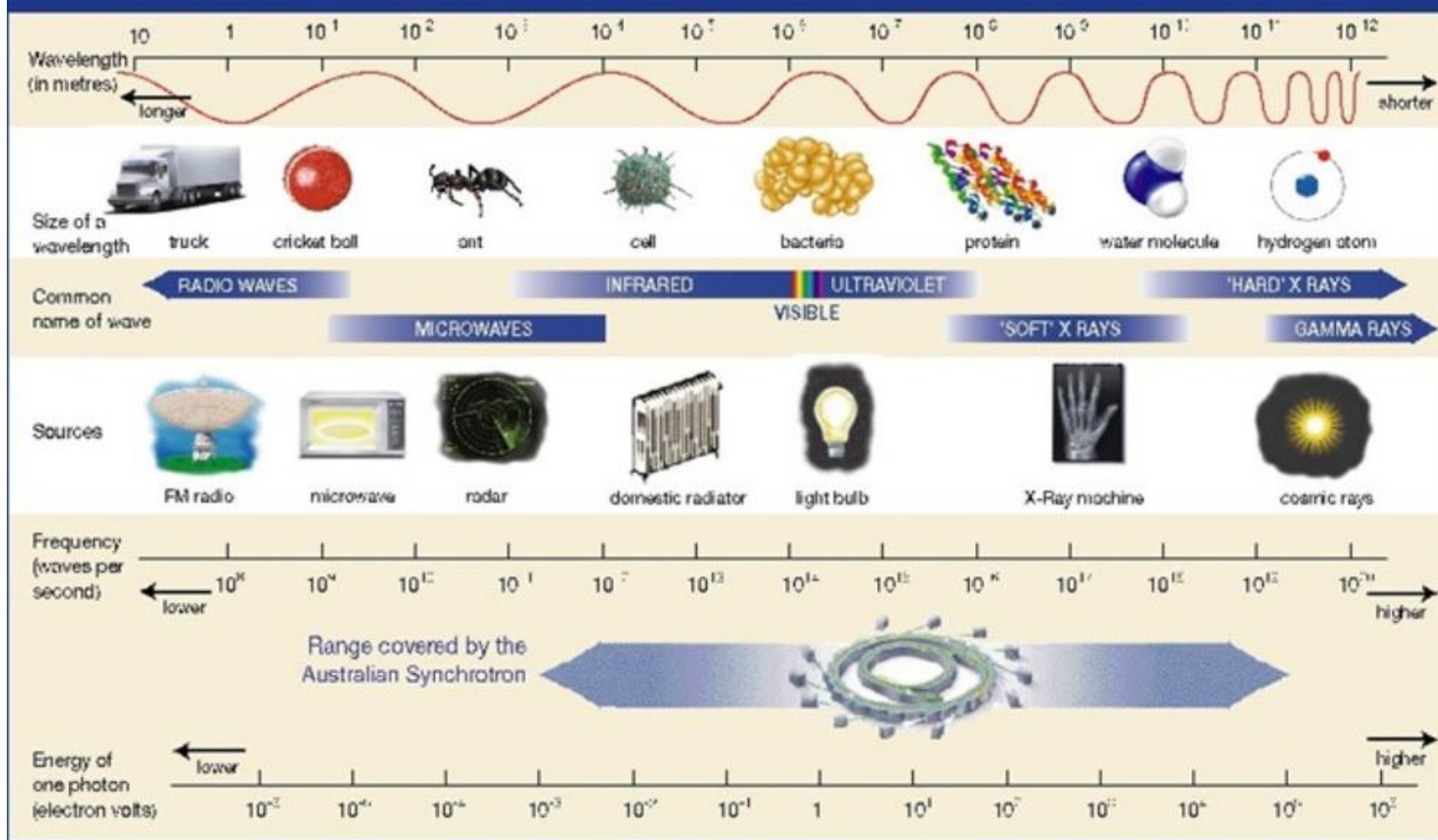
Lund (3 GeV) - Svezia

Sirius (3 GeV) - Brasile



SSRF (3.5 GeV) Shanghai - Cina

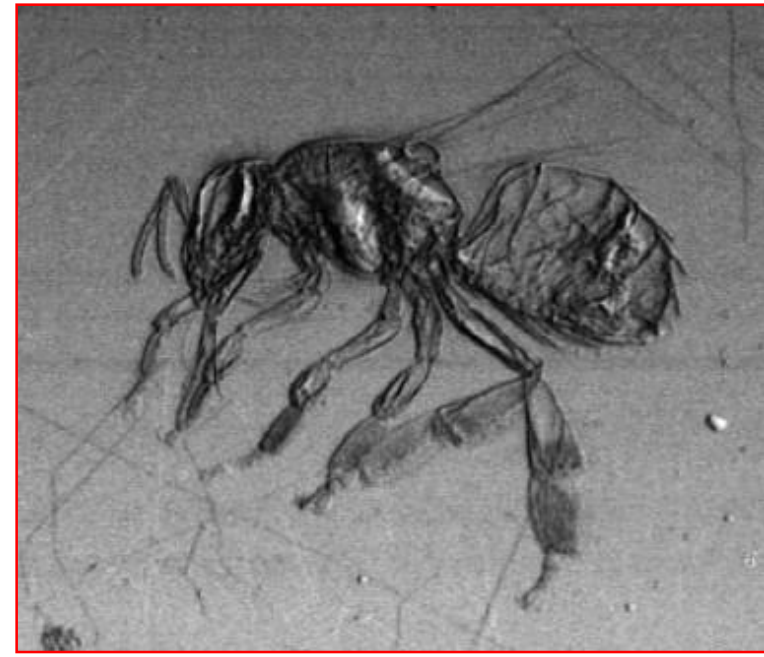
The Electromagnetic Spectrum



Synchrotron radiation properties

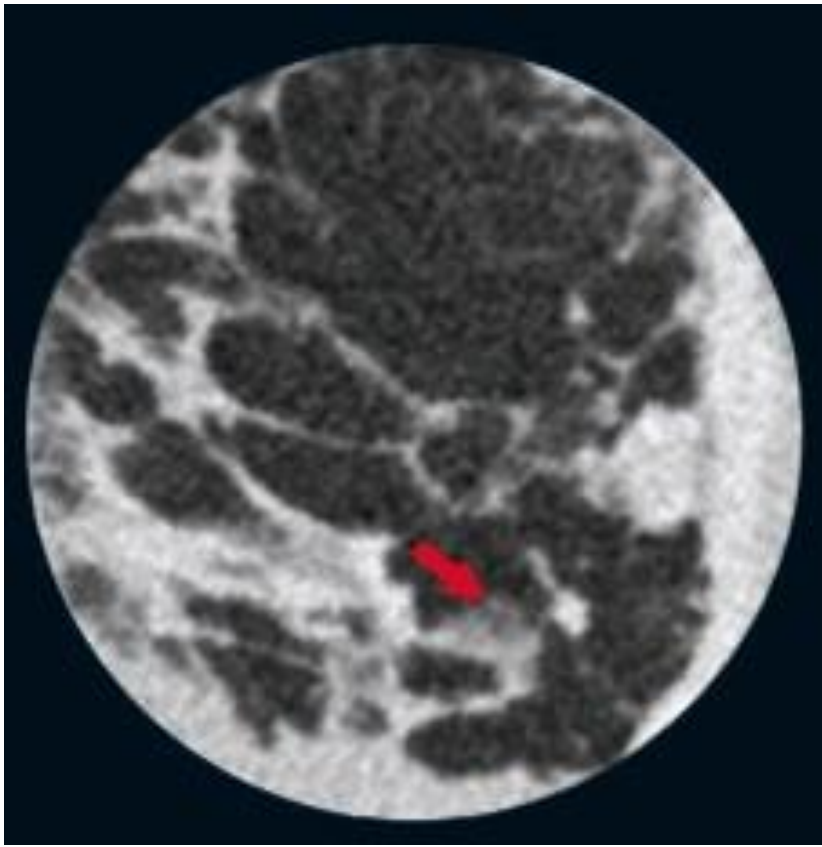
Better image quality, using radiation doses similar to or lower than those used in conventional radiography.

The comparison between the two images is clear:

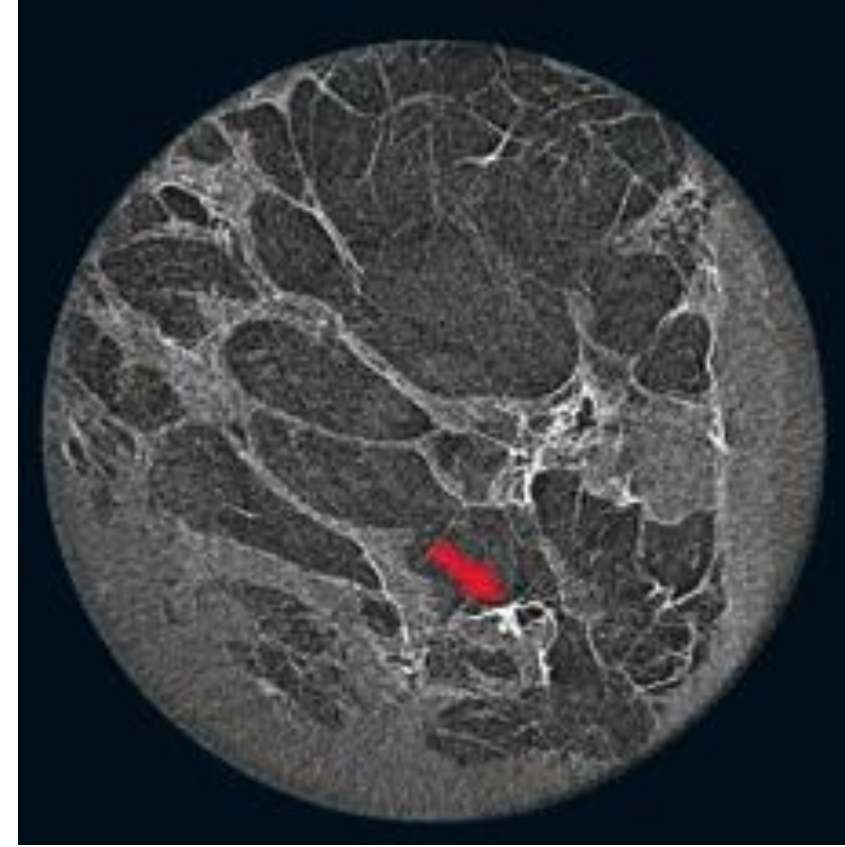


No other source of electromagnetic radiation presents, all together, the multiple and extraordinary characteristics of synchrotron light.

Medical applications



Esame senologico - TC Tomografia computerizzata convenzionale produce immagine 3D



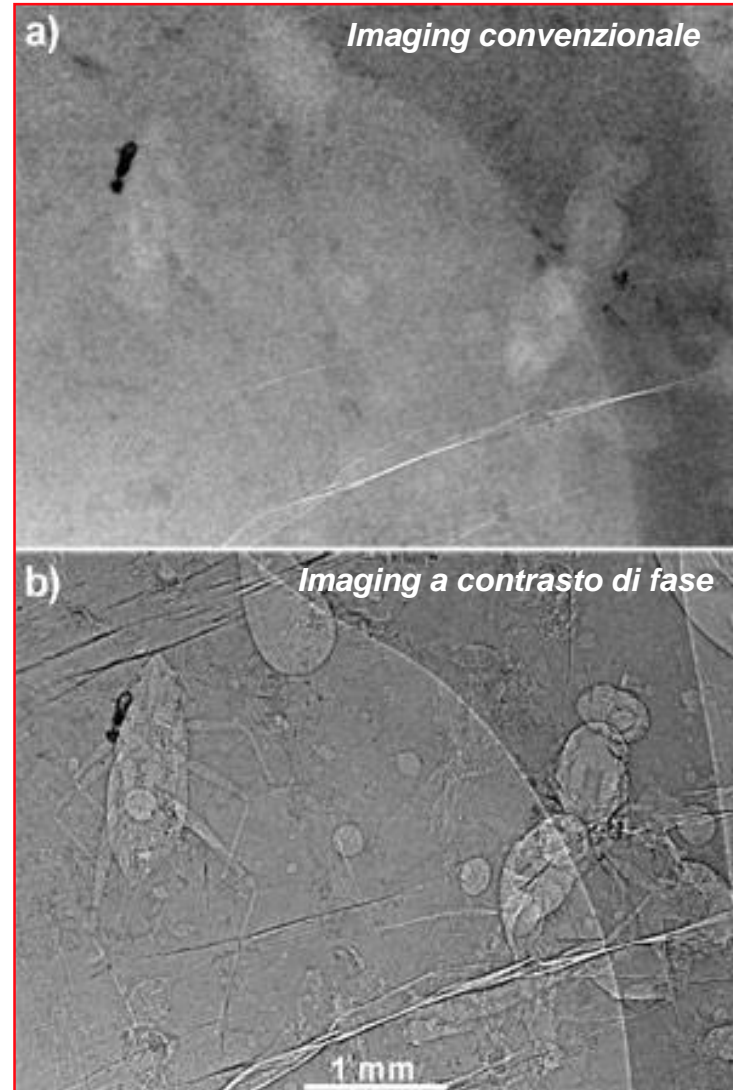
Esame senologico - ABI Analyser Based x-ray Imaging, 3D, risoluzione 7 volte migliore.

It guarantees much better resolutions. Micro calcifications, small deposits of minerals can clearly be observed, which can indicate the presence of tumors and their shape and margins can be more accurately defined.

Paleontologi dell' Università di Renne in Francia e ricercatori della facility di luce di sincrotrone ESRF a Grenoble hanno scoperto la presenza di 356 animaletti, inclusi in un pezzo (2 kg) di resina fossile di albero, completamente opaco, di 100 milioni di anni fa (periodo medio-Cretaceo)



Ambra fossile opaca



Imaging convenzionale

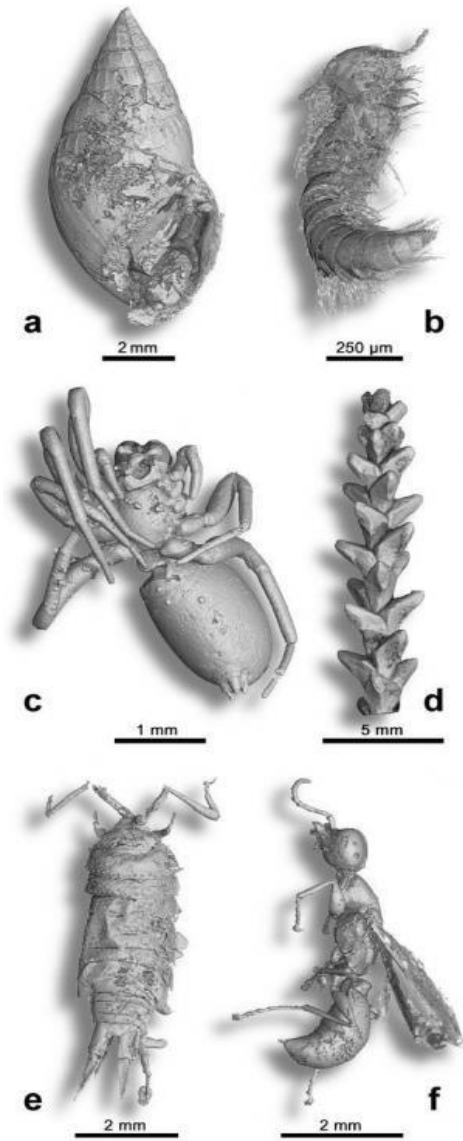
Imaging a contrasto di fase

La Luce di Sincrotrone in paleobiologia

Sempre ad ESRF usando la **microtomografia X a contrasto di fase** e' stato possibile effettuare una visualizzazione 3D dei microorganismi inclusi nel campione di resina fossile.



a) Gastropod *Ellobiidae*; b) Myriapod *Polyxenidae*; c) Arachnid; d) Conifer branch (*Glenrosa*); e) Isopod crustacean *Ligia*; f) Insect hymenopteran *Falciformicidae*.



Accelerators, Synchrotron radiation and Cultural Heritage

The works of art are complex systems, made up of many different materials that tend to deteriorate with time and exposure to the environment.

Understanding what a work of art is composed of is essential for preserving it



We must imagine a work of art a bit like a "special" patient to whom an accurate diagnosis must be made before being able to perform "surgery".

- What are the materials used by the artist?
- What kind of technique did you use?
- Are there materials from later periods?
- Are there synthetic materials?
- Is there degradation?
- Is the cleaning method effective?
- Are the materials used compatible with the era or are we facing a fake?



Madonna della seggiola
Dipinto su tavola, Raffello (1513)



Niccolò Alunno: Madonna con Bambino e Santi (1499)

To answer these questions there is a need for a team of scientists, each with different diagnostic techniques that work together

CHNet: the INFN network for cultural heritage

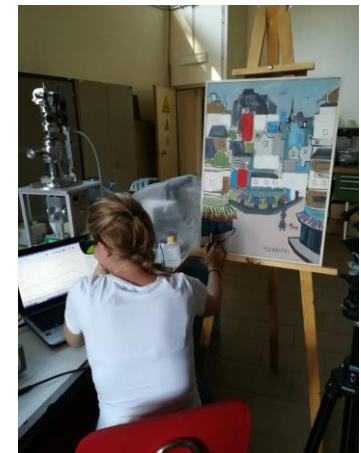
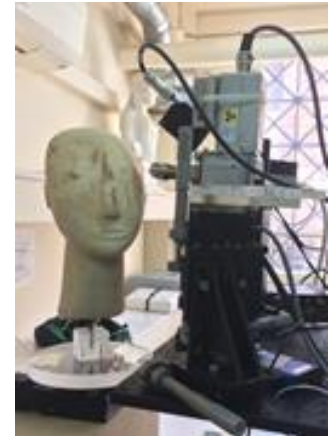
The interest for non destructive diagnostic techniques and conservation of the archeological and artistic heritage has enormously grown. **CHNet-Cultural Heritage Network** is the INFN competence network for the study and conservation of artworks, using technologies which are developed in the field of particle physics.

CHNet Coordinator: Francesco Taccetti (ftaccetti@fi.infn.it)

RESEARCH
TECH-TRANSFER
TEACHING
DIAGNOSTIC SERVICES



<http://chnet.infn.it/it/chi-siamo-2/>



CHNet: the INFN network for cultural heritage

The mission of INFN-CHNet is to become a reference point on the national and international scale, for the multidisciplinary community of public and private sectors that carry out their activities in the field of the study and diagnosis of cultural heritage.

For decades, the INFN laboratories have not only used the most modern technologies in this field, but, thanks to specific research projects, they are developing new ones looking for solutions to the problems posed by operators in the sector such as, for example, archaeologists, historians , restorers and conservators.

<http://chnet.infn.it/it/home-2/>

The different diagnostic techniques provide complementary information that can be useful for:

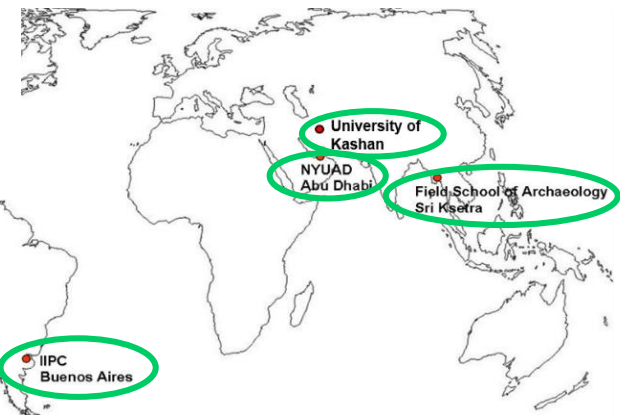
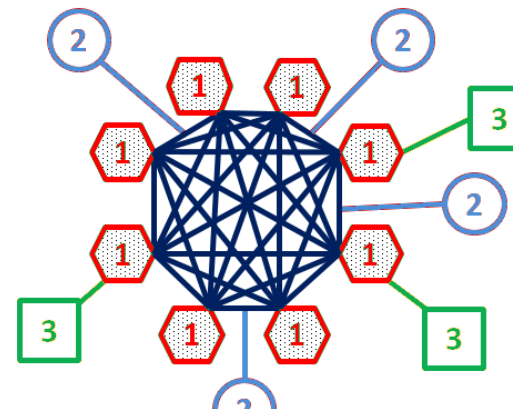
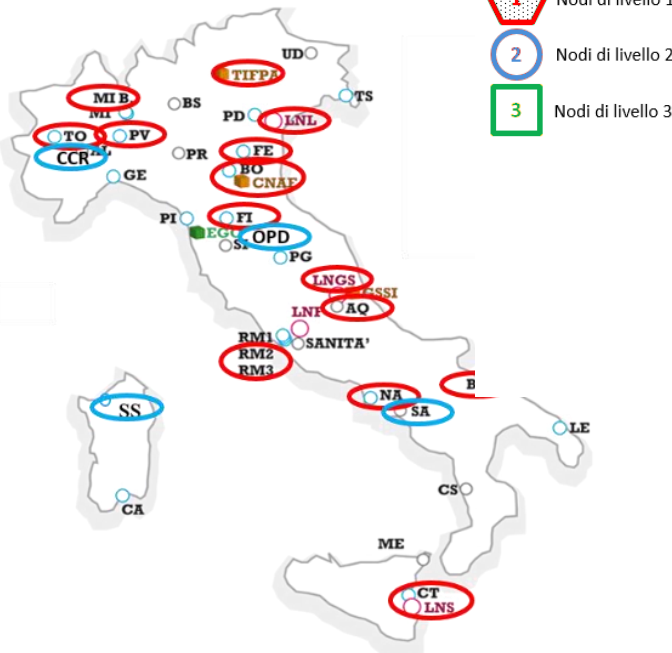
- restoration and conservation plans;
- study the materials used and the construction techniques;
- reconstruct the place of origin of the raw materials used for the construction of the artifacts (so as to be able to reconstruct the trade routes, or to use the original materials in the case of restoration and consolidation);
- dating artworks or archaeological sites;
- contribute to the authentication of the artworks.



The network is composed of nodes :

- ✓ INFN structures - **level 1 nodes**;
- ✓ Universities and Restoration Centers - **level 2 nodes**;
- ✓ Scientific Research Centers Abroad Outside Europe - **Level 3 nodes**

Multidisciplinary and international network







Call for proposals: January 27, 2020

<https://www.sesame.org.jo/news/sesame-call-proposals-0>

FIXLAB

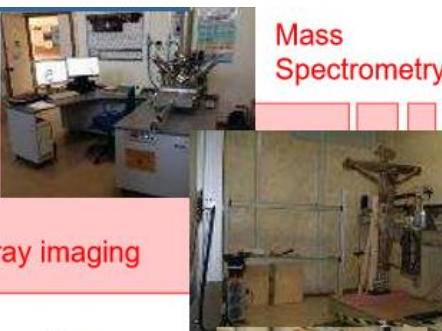
Medium-large scale facilities (IBA, ^{14}C , ...)





TL dating X-ray imaging X-ray imaging

Mass Spectrometry



MOLAB

Thermography



XRD

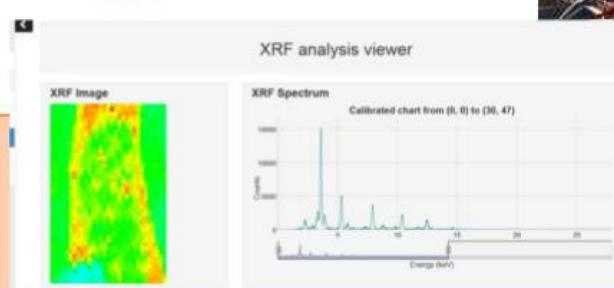
XRF





DIGILAB

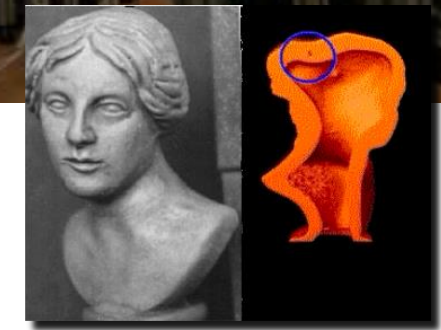
Web tool for data fruition



XRF Image XRF Spectrum



Data Storage and fruition



Istituto Nazionale di Fisica Nucleare
Cultural Heritage Network



Material ageing, climate change, atmospheric pollution, anthropic pressure combined with inappropriate conservation and restoration procedures have also contributed to degradation of artworks.

The modern approach to conservation requires a deep scientific investigation before any treatment.

* Non destructive

Sampling techniques

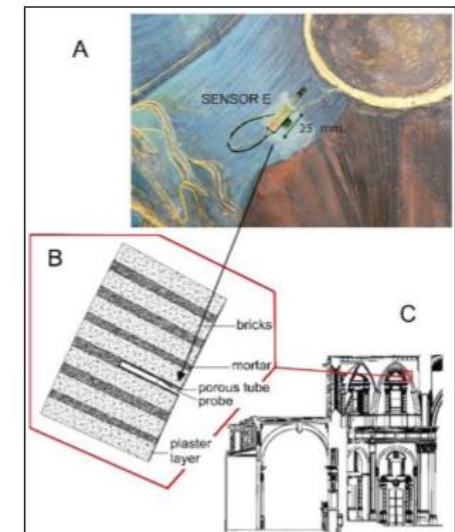
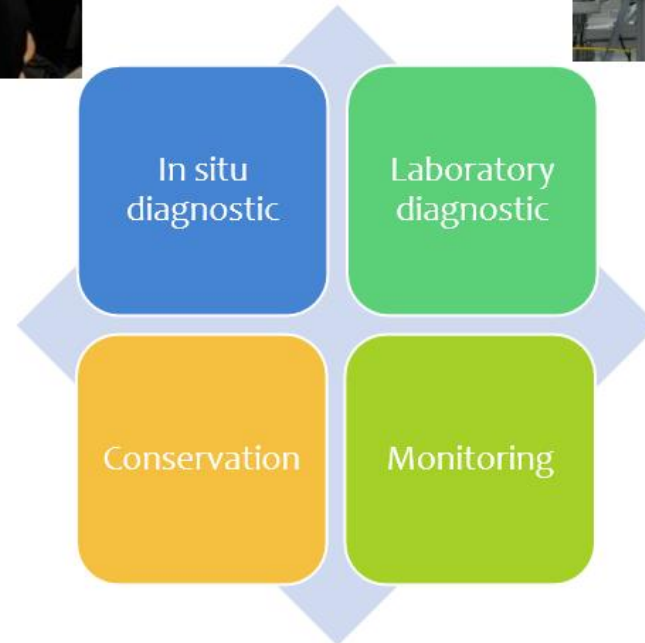


* Micro destructive



- Multispectral Imaging (UV, VIS, NIR, SWIR)
 - Micro-photography
 - Raman Spectroscopy
 - FT-IR Spectroscopy
 - XRF
- Micro-FT-IR Spectroscopy with conventional and Synchrotron radiation Source
 - SEM-EDS
 - Micro-Raman Spectroscopy
 - FT-IR Spectroscopy

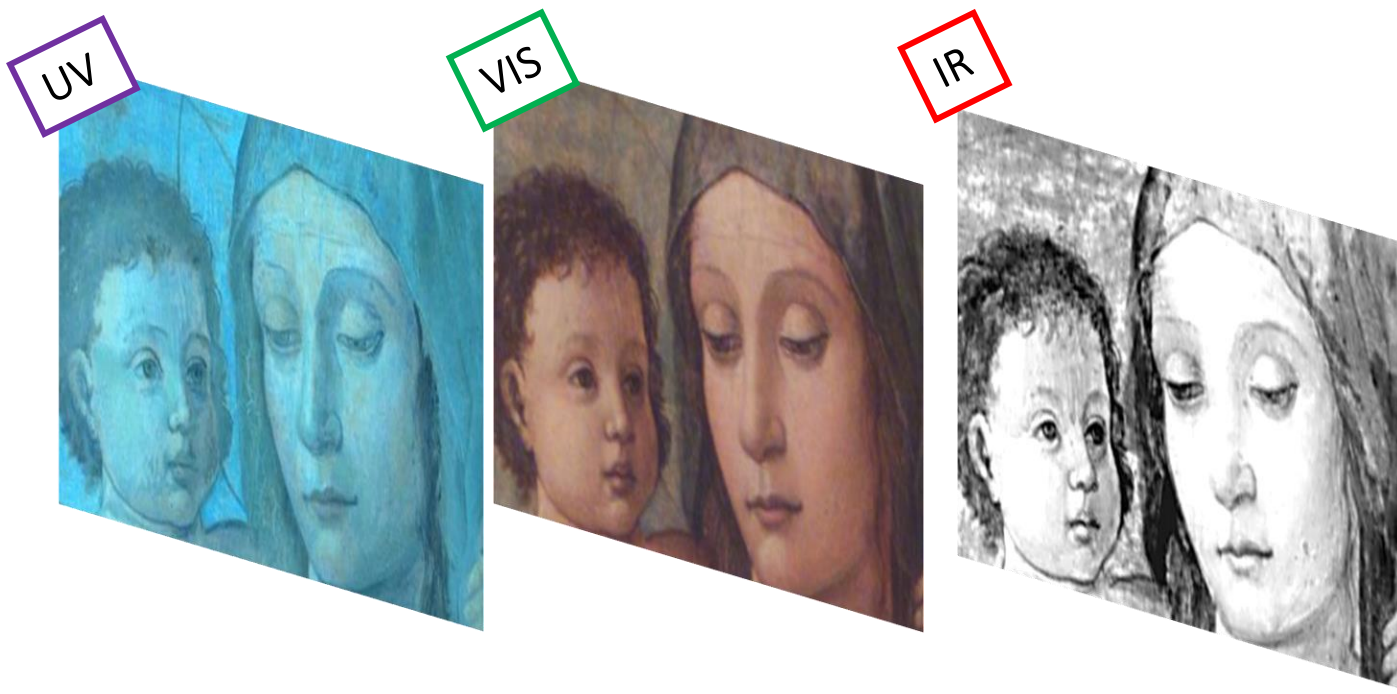
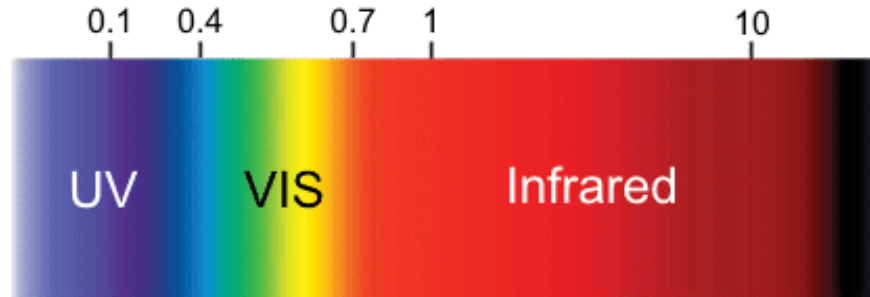
Metodi non distruttivi e micro-distruttivi



Imaging Techniques

Multispectral Imaging Techniques

Imaging techniques: are the conversion into visible photographic images of surface interaction with electromagnetic radiation that cannot be detected by the human eye



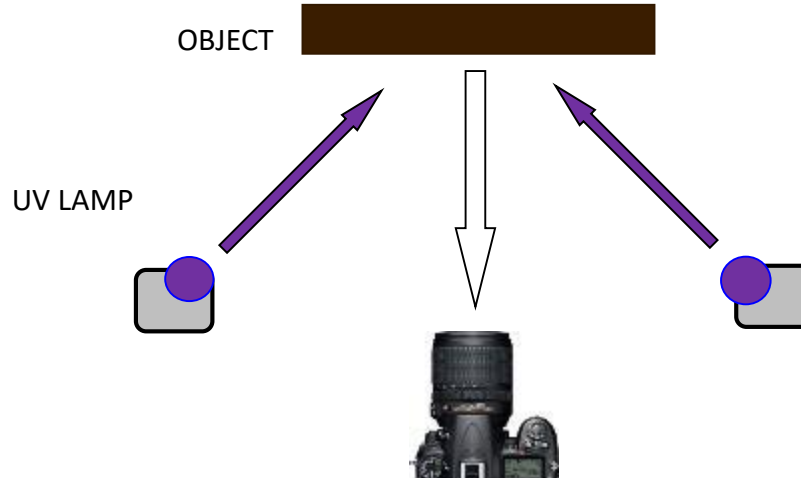
UV FLUORESCENCE

PHOTOGRAPHY

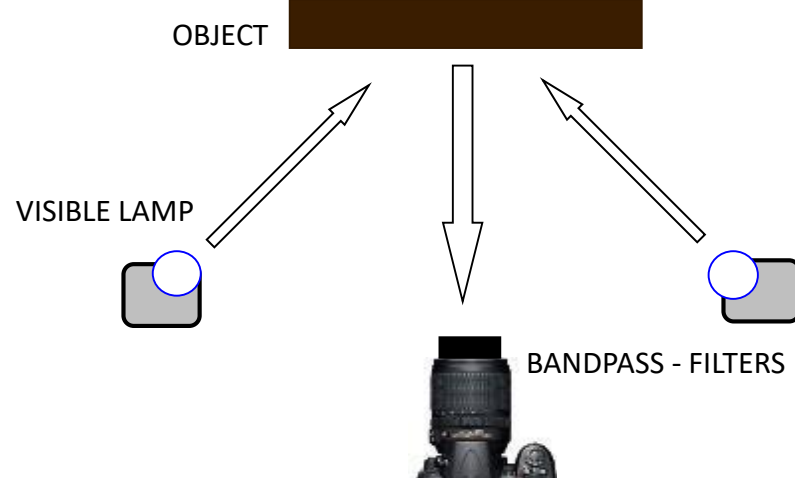
IR REFLECTOGRAPHY

Non-invasive Analysis set up for in situ analyses (UV, VIS, NIR, SWIR)

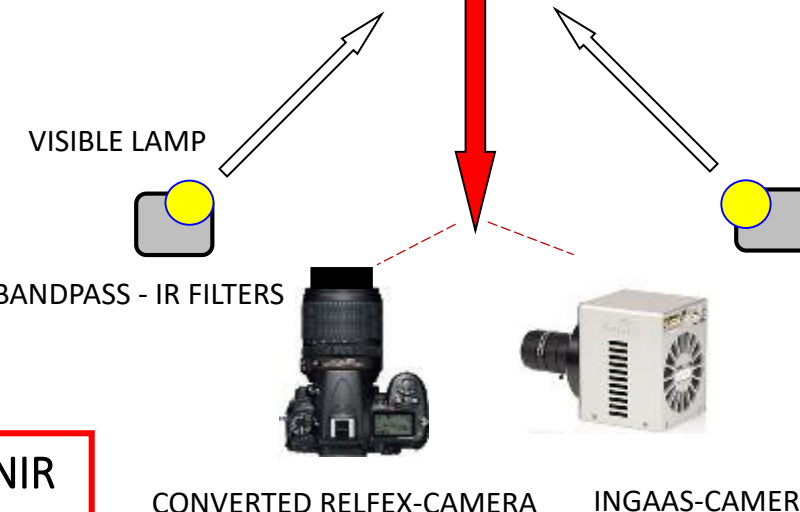
UV



VIS



OBJECT



NIR

CONVERTED RELFEX-CAMERA

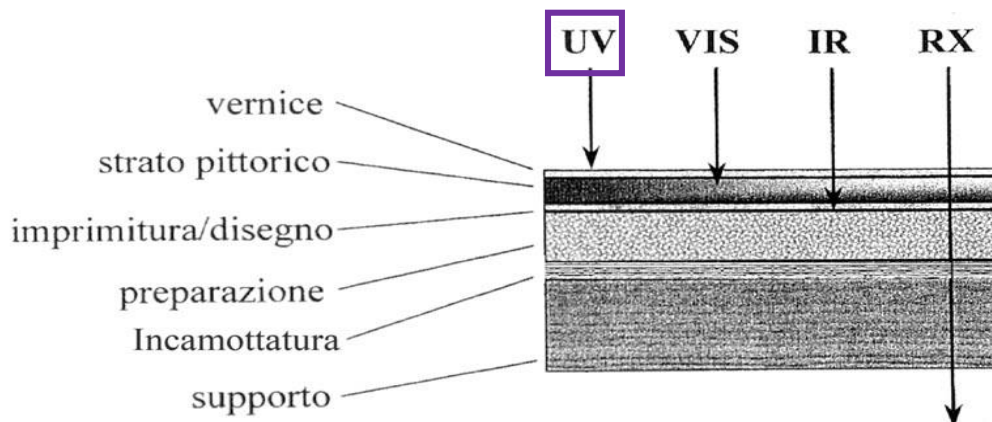
INGAAS-CAMERA

SWIR



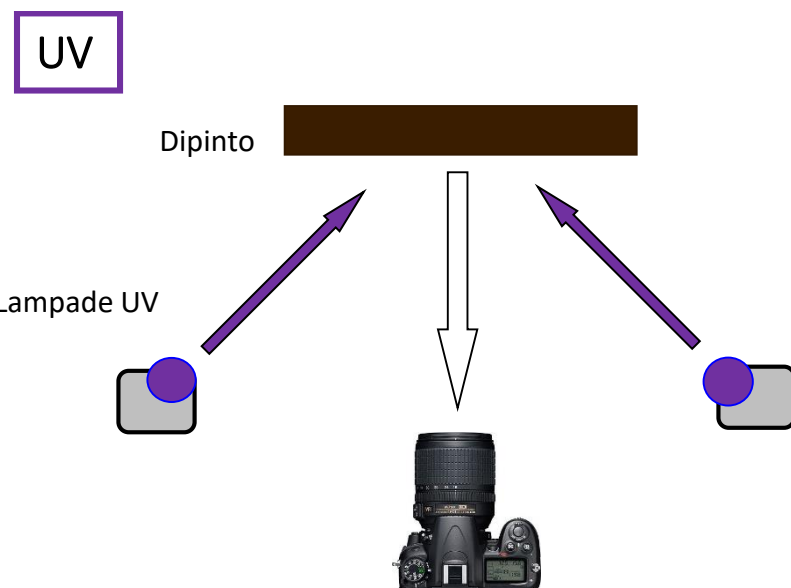
Istituto Nazionale di Fisica Nucleare
SEZIONE DI ROMA TOR VERGATA

Multispectral imaging techniques

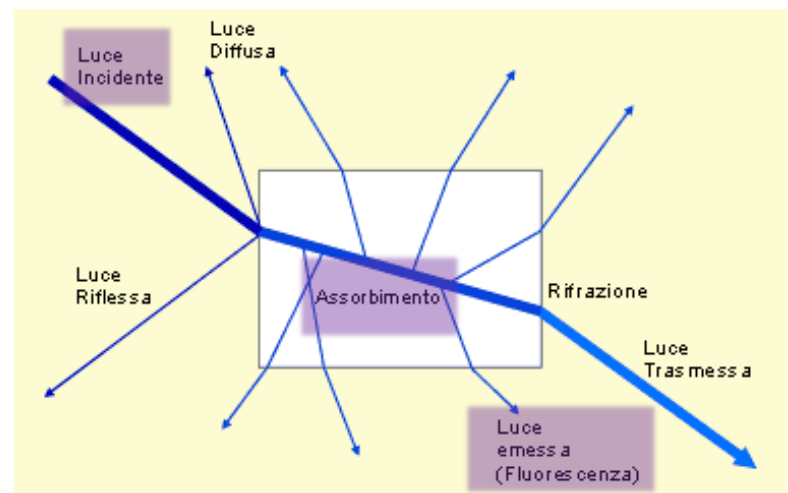


Stratificazione del dipinto «Ritratto di Giovanna Tornabuoni» di Domenico Ghirlandaio :

- 1 preparazione (gesso e colla)
- 2 disegno preparatorio
- 3 verde di Boemia che fa da base a tutte le parti di incarnato
- 4-7 diversi strati di colore (poi completati da una mano di vernice)



SISTEMA DI ACQUISIZIONE DI IMMAGINI



Multispectral imaging techniques

UV FLUORESCENCE IMAGING



QUALITATIVE ANALYSIS (Camera acquisition system)

1) Modern restoration interventions (absence of uv fluorescence emission)

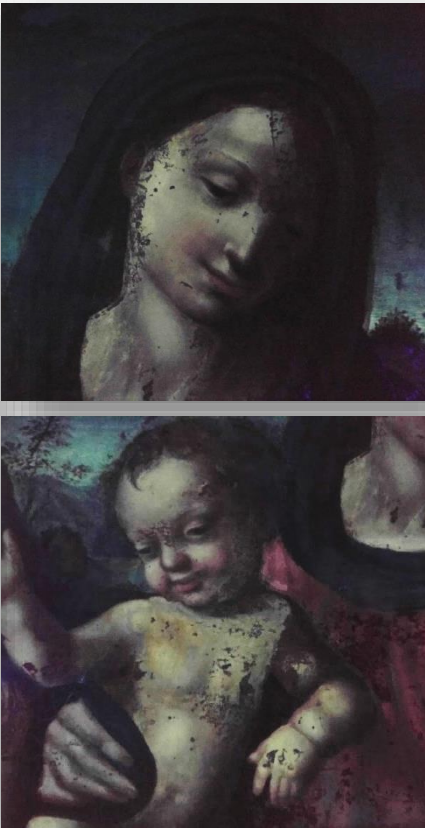


olio su tavola
«Madonna con
Bambino» di
Francesco di Giorgio
Martini (XV sec.) –
Accademia di San
Luca (Roma)

olio su tavola
«Madonna con
Bambino» di scuola
veneta (XV sec.) –
Accademia di San
Luca (Roma)

Multispectral imaging techniques

UV FLUORESCENCE IMAGING



olio su tavola «Madonna con Bambino e San Giovannino» di pittore toscano (Tommaso di Credi?) (inizi secolo XVI) – Palazzo Rosso (Genova)

UV FLUORESCENCE IMAGING

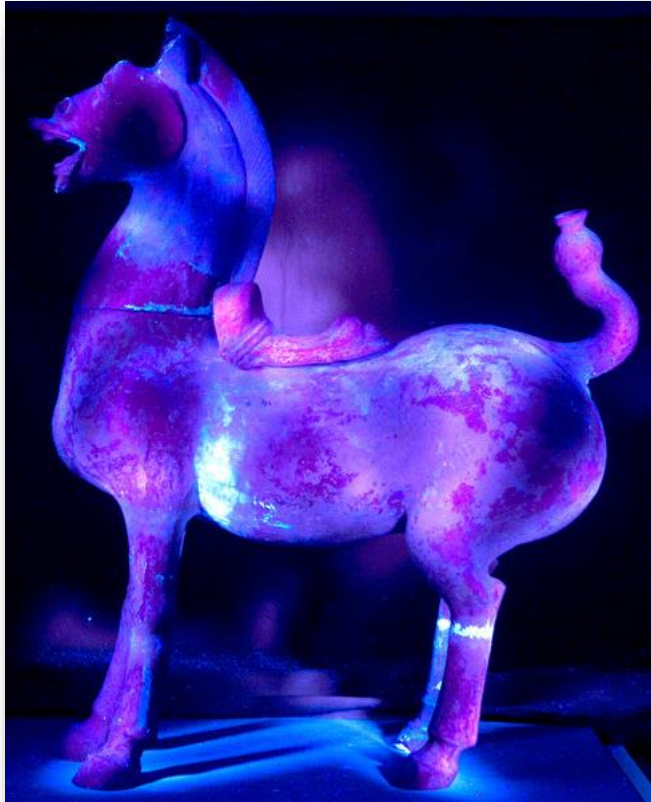
2) Pictorial materials with UV fluorescence



Olio su tavola «San Giovanni Evangelista, San Zaccaria e una Santa» di Francesco Brea (Nizza?, 1512 - 1555) – Palazzo Rosso (Genova)

Multispectral imaging techniques

UV FLUORESCENCE IMAGING



Cavallo di ceramica della dinastia Han, China.
National Gallery of Australia

Non solo dipinti....



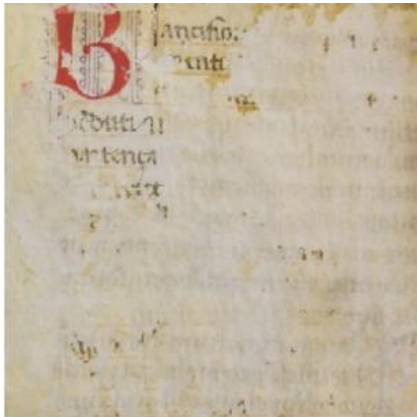
Particolare dell'Afrodite detta "*del Fréjus*".
Museo del Louvre

Multispectral imaging techniques

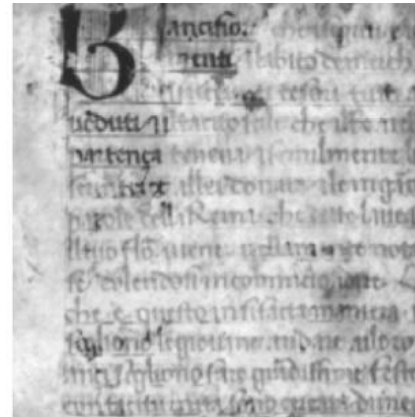
UV FLUORESCENCE IMAGING

Not only paintings...

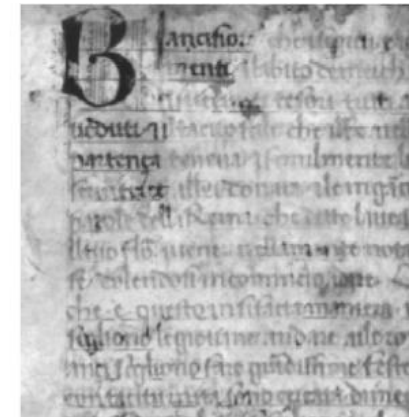
"Provvisorio 38" - foglio di pergamena del 15 secolo che contiene un frammento del "Filocolo" di Giovanni Boccaccio.



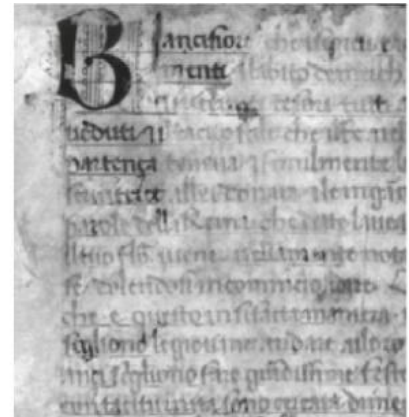
(a)



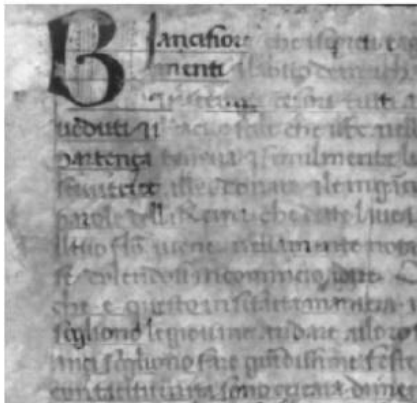
(b)



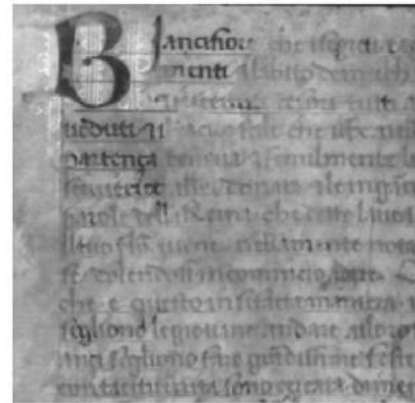
(c)



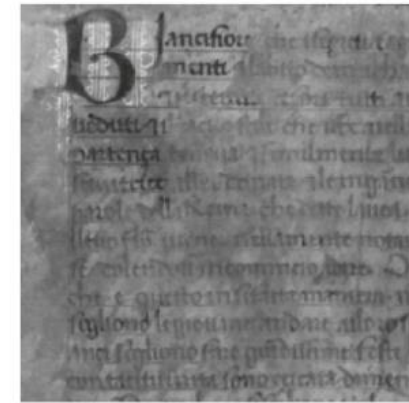
(d)



(e)



(f)



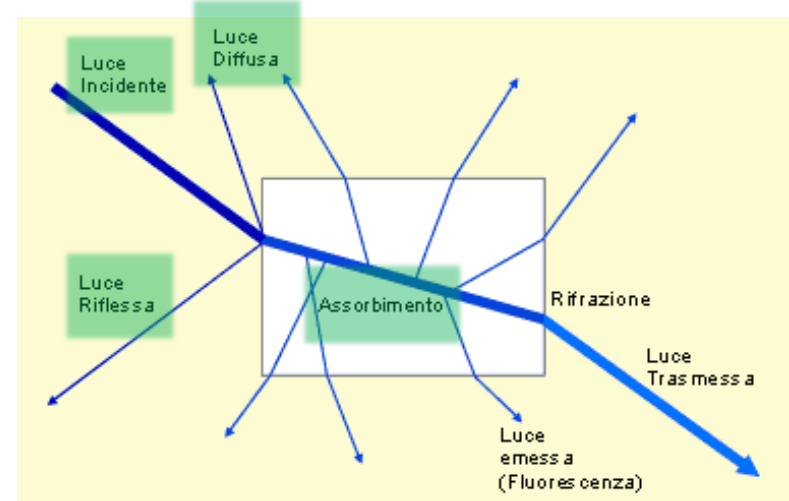
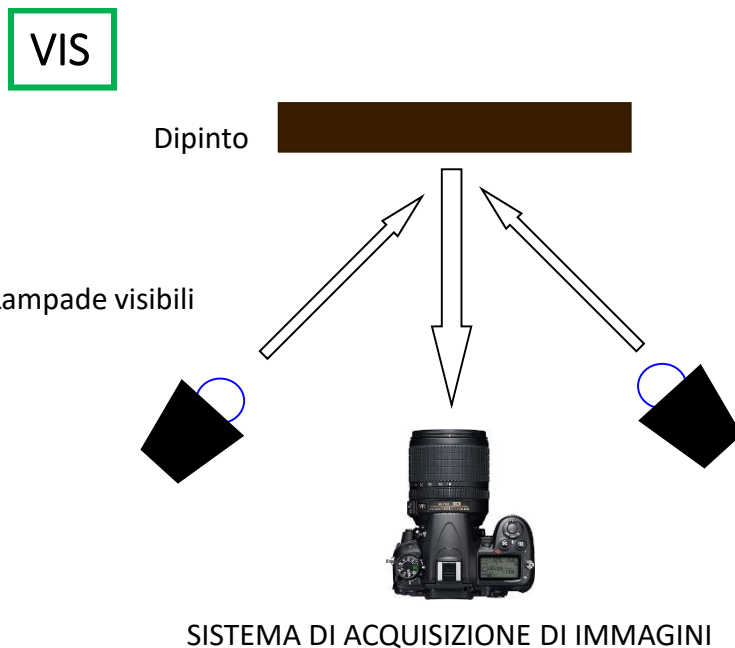
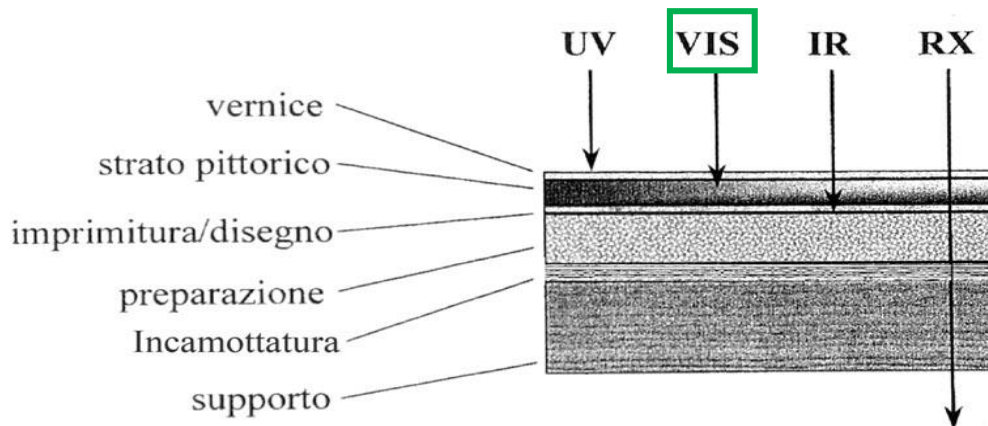
(g)



(h)

Immagini multispettrali prese a 470 nm (b), 500 nm (c), 532 nm (d), 600 nm (e), 680 nm (f), 700 nm (g), e 750 nm (h)

Multispectral imaging techniques

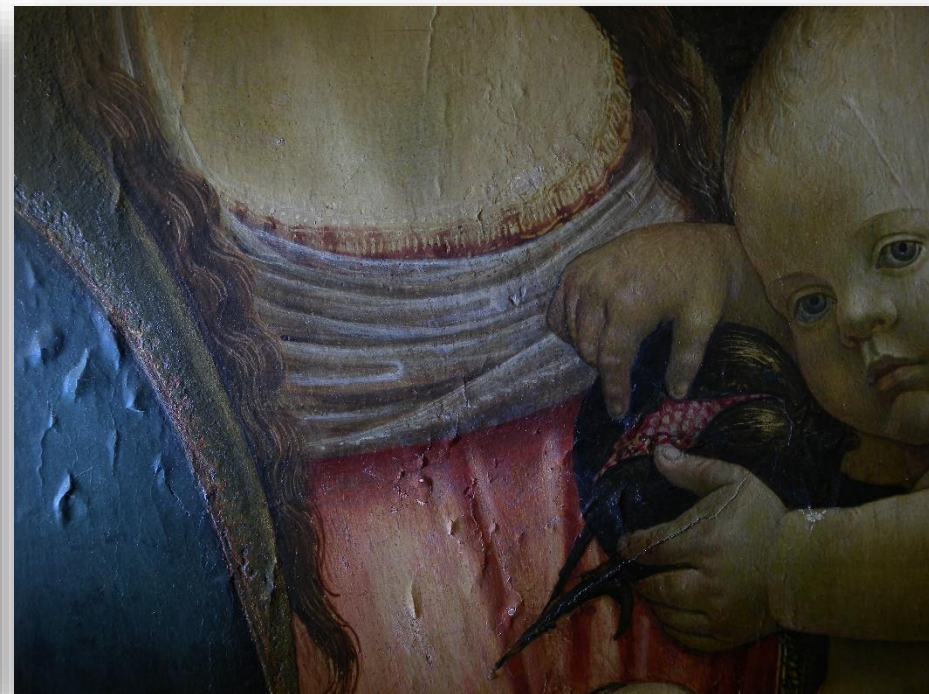


Tecniche di imaging multispettrale

FOTOGRAFIA IN LUCE RADENTE



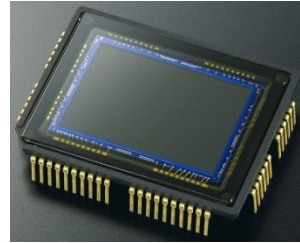
- ✓ Deformazione del supporto in tela/tavola
- ✓ Rigonfiamenti, lacerazioni, strappi, cuciture o integrazioni
- ✓ La presenza di elementi per l'assemblaggio
- ✓ Lo spessore degli strati pittorici e loro sequenza di applicazione
- ✓ Sollevamenti, cadute e integrazioni del colore



Olio su tavola «Madonna con Bambino e San Giovannino di scuola fiorentina (XV sec.) – Accademia di San Luca (Roma)

Multispectral imaging techniques

FOTOGRAFIA

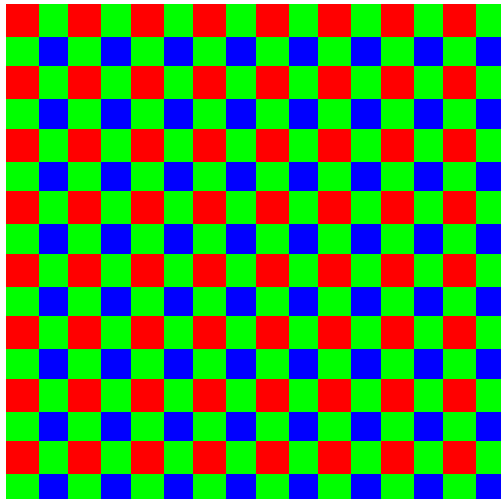


SENSORE CCD o CMOS

matrice di fotodiodi (al silicio) in grado di trasformare un segnale luminoso in un segnale elettrico (effetto fotoelettrico)

IMMAGINI A COLORI

filtra RGB o Matrice di Bayer o Color filter array (CFA) o Color filter mosaic (CFM)



R = 700 nm

G = 546.1 nm

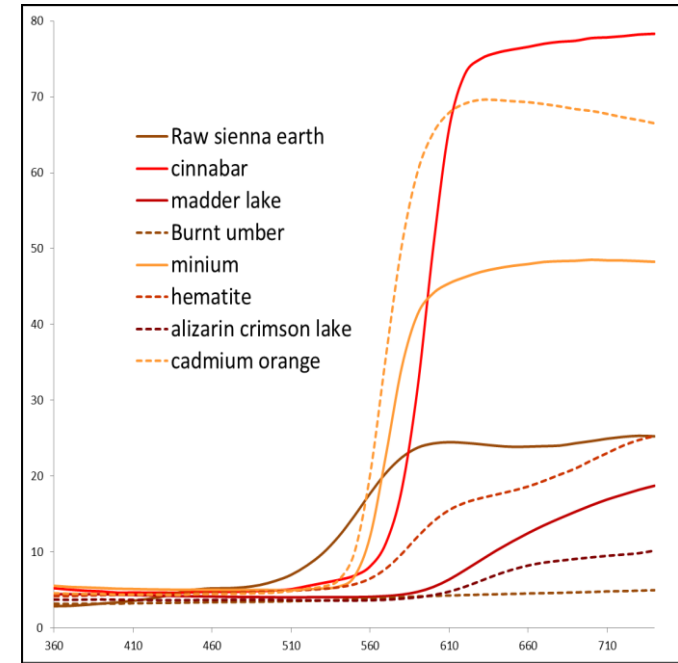
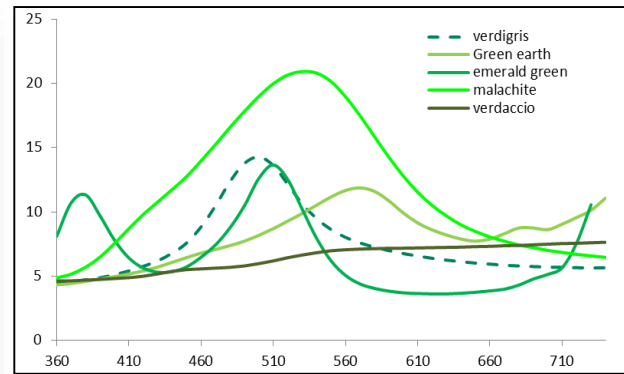
B = 435.8 nm

Matrice di Bayer

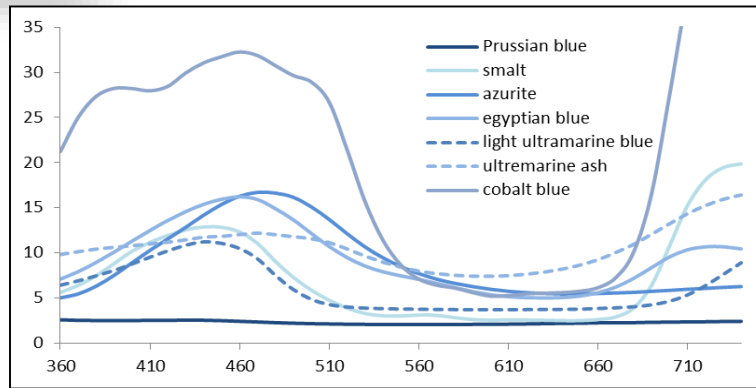


Combinazione RGB

Multispectral imaging techniques



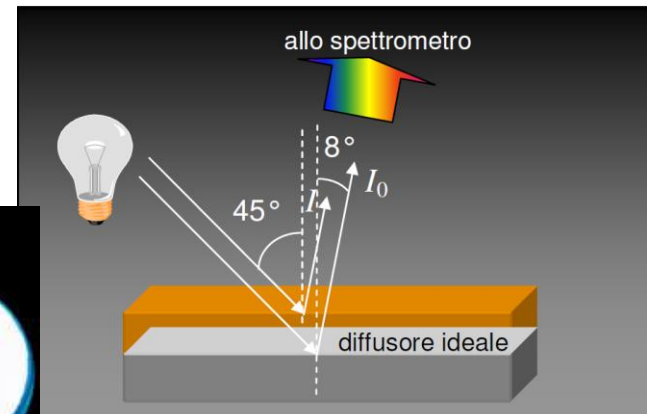
Pigmenti diversi
stesi con il tuorlo



Spettroscopia di riflettanza

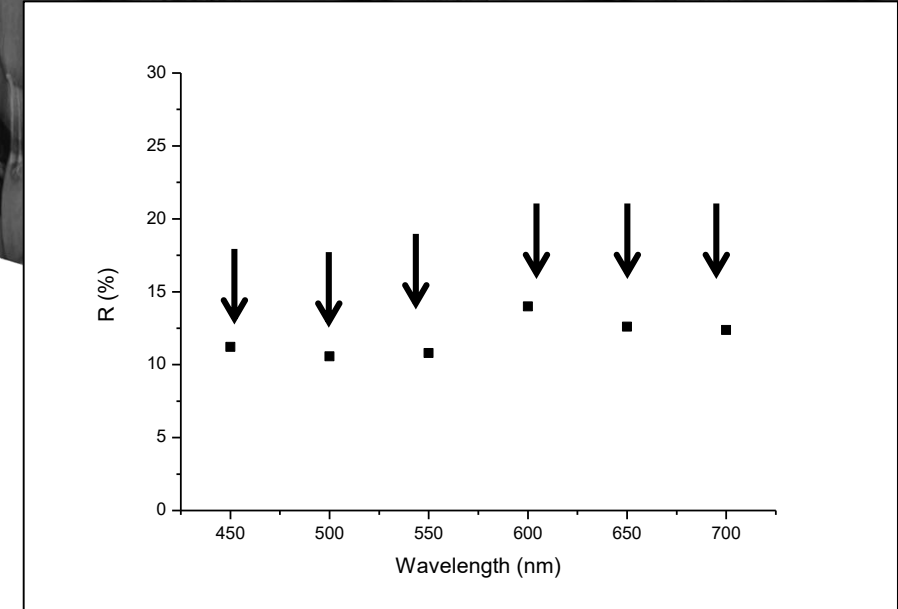
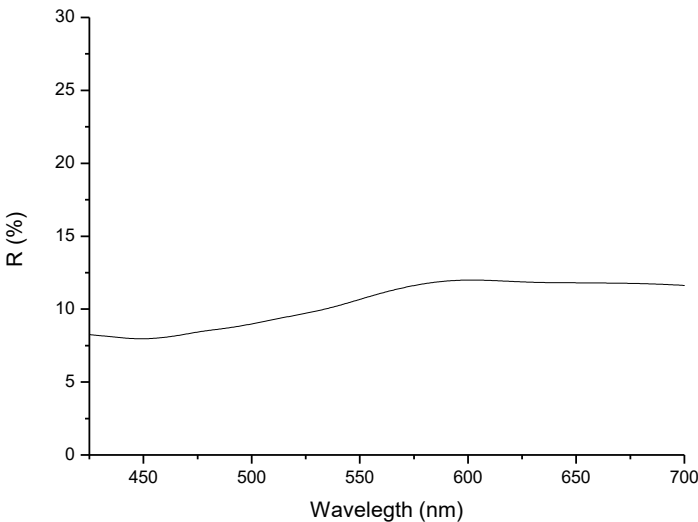
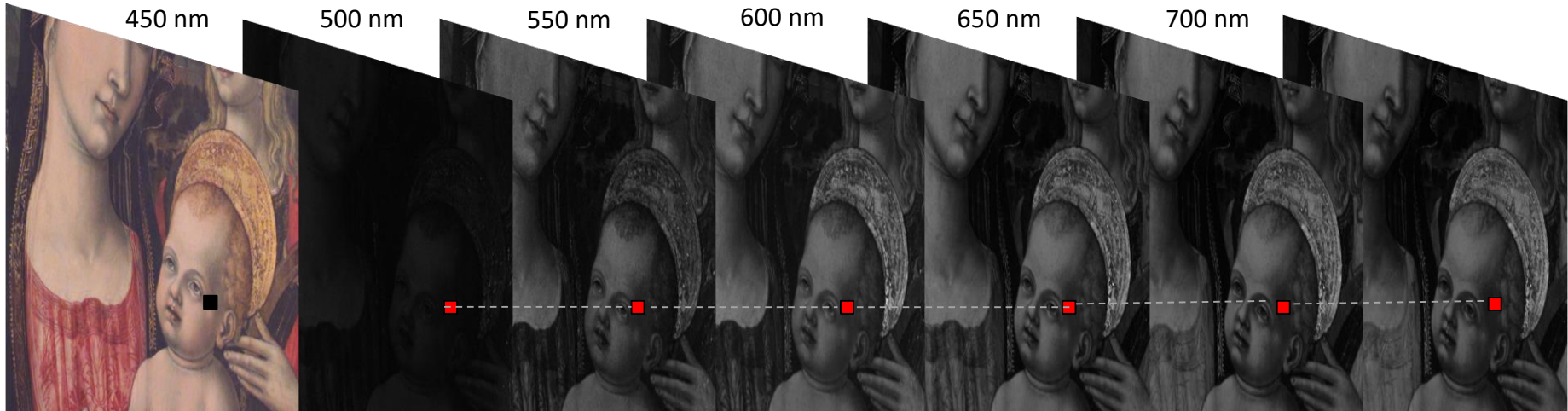
- Fattore di riflessione spettrale

$$R_{(\lambda)} = \frac{I_{(\text{campione})}}{I_{(\text{riferimento})}} \times 100$$

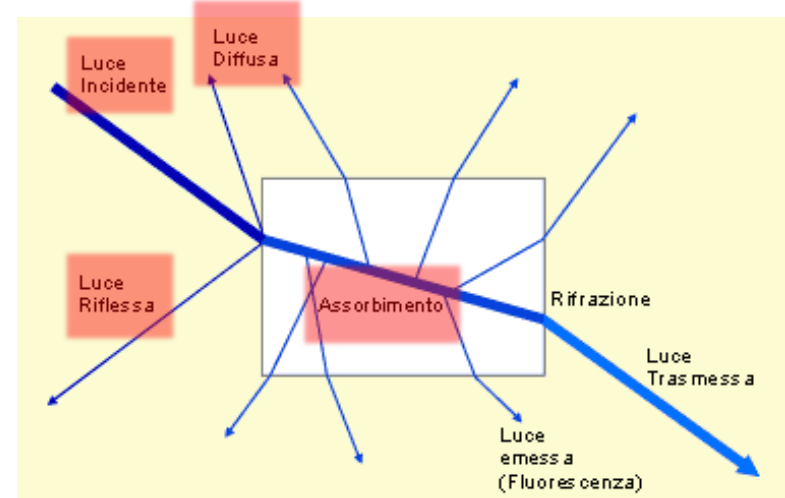
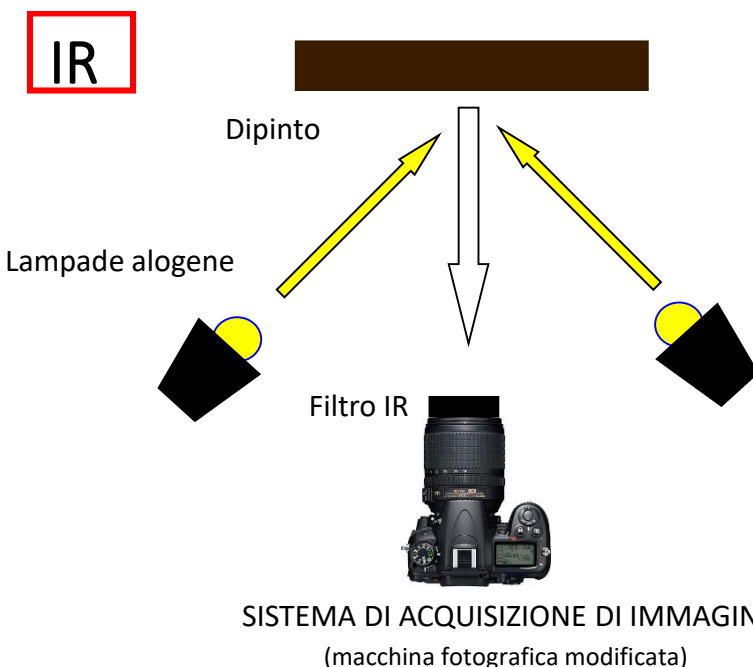
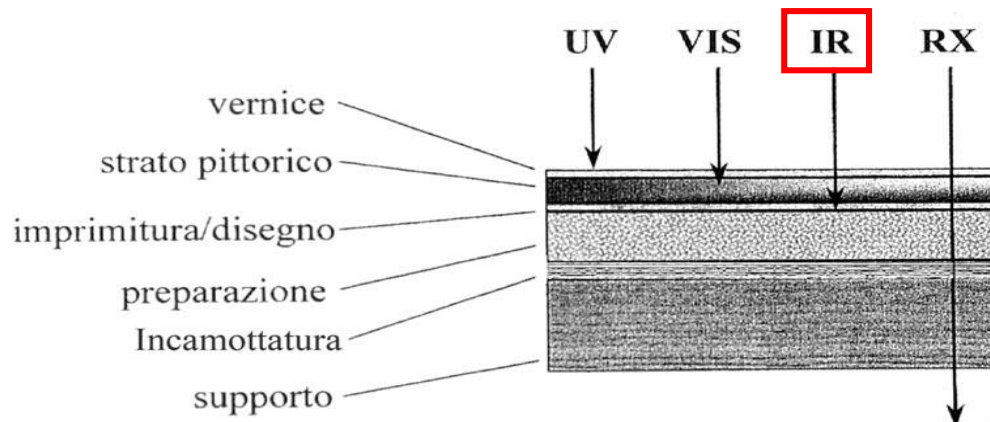


Multispectral imaging techniques

Multispectral Reflectance Imaging



Multispectral imaging techniques



Multispectral imaging techniques

IR REFLECTOGRAPHY

La riflettografia IR viene impiegata principalmente per:

- Preparatory drawings or hidden tracks
- “Pentimenti”
- Identification of some pigments or heterogeneity of the pictorial layout
- Characterization of mixed inks



VISIBILE (B/N)



RIFLETTOGRAFIA IR

IR REFLECTOGRAPHY

La riflettografia IR viene impiegata principalmente per:

- Preparatory drawings or hidden tracks
- “Pentimenti”
- Identification of some pigments or heterogeneity of the pictorial layout
- Characterization of mixed inks



VISIBILE (B/N)



RIFLETTOGRAFIA IR

Tecniche di imaging multispettrale

RIFLETOGRAFIA IR

La riflettografia IR viene impiegata principalmente per:

- Preparatory drawings or hidden tracks
- “Pentimenti”
- Identification of some pigments or heterogeneity of the pictorial layout
- Characterization of mixed inks



VISIBILE



RIFLETOGRAFIA IR

Affresco romano «Il Grifo» – Ostia Antica (Roma)

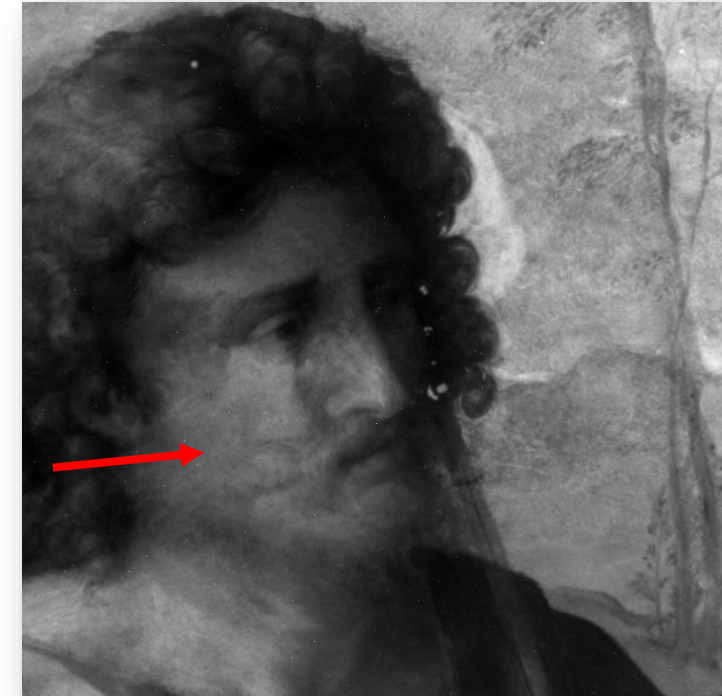
RIFLETTOGRAFIA IR

La riflettografia IR viene impiegata principalmente per:

- Preparatory drawings or hidden tracks
- “Pentimenti”
- Identification of some pigments or heterogeneity of the pictorial layout
- Characterization of mixed inks



VISIBILE



RIFLETTOGRAFIA IR

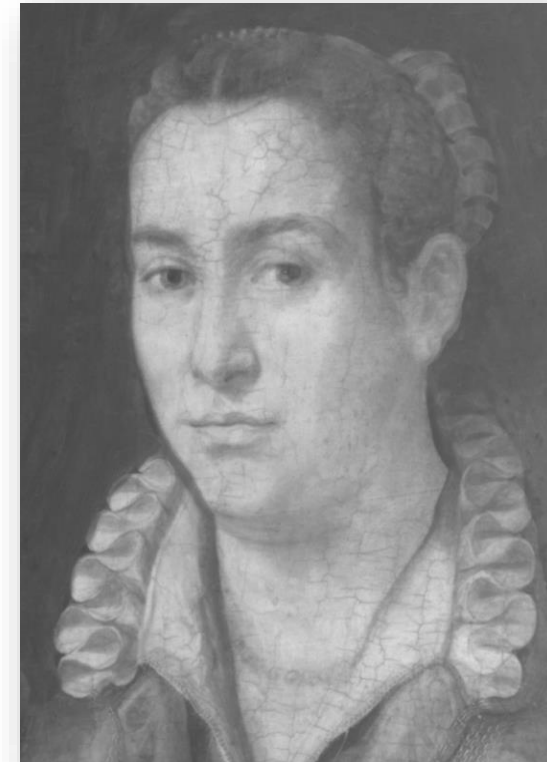
RIFLETTOGRAFIA IR

La riflettografia IR viene impiegata principalmente per:

- Preparatory drawings or hidden tracks
- “Pentimenti”
- Identification of some pigments or heterogeneity of the pictorial layout
- Characterization of mixed inks



VISIBILE



RIFLETTOGRAFIA IR

RIFLETOGRAFIA IR

La riflettografia IR viene impiegata principalmente per:

- Preparatory drawings or hidden tracks
- “Pentimenti”
- Identification of some pigments or heterogeneity of the pictorial layout
- Characterization of mixed inks



VISIBILE



RIFLETOGRAFIA IR

Affresco a Santa Luca delle Malve (Matera)

Tecniche di imaging multispettrale

RIFLETOGRAFIA IR

La riflettografia IR viene impiegata principalmente per:

- Disegni preparatori o tracce nascoste
- Eventuali pentimenti
- Identificazione di alcuni pigmenti o eterogeneità della stesura pittorica
- **Caratterizzazione degli inchiostri misti**



Inchiostro ferrogallico

Inchiostro vegetale

Inchiostro a base di carbonio

Tecniche di imaging multispettrale

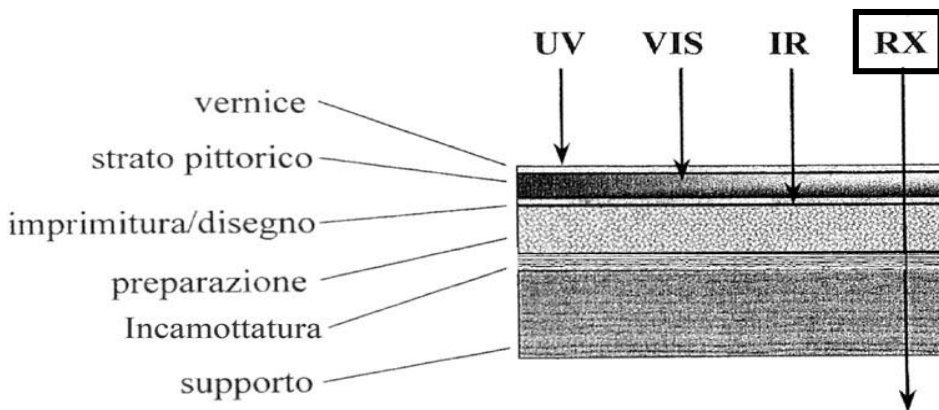
VIS



UV

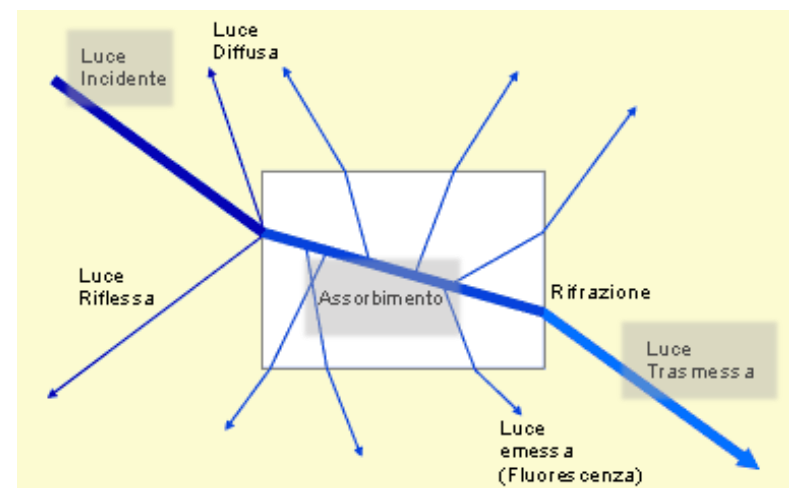
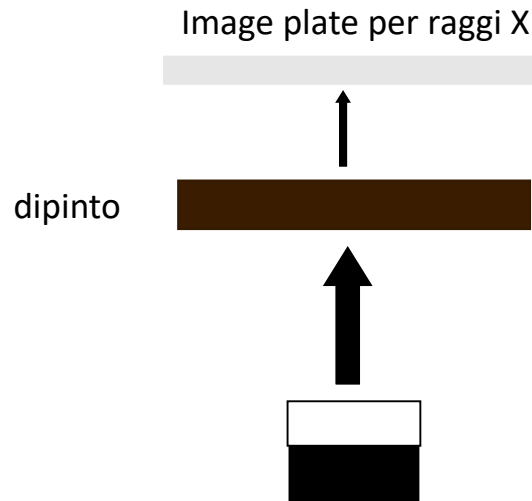


Tecniche di imaging multispettrale



Stratificazione del dipinto «Ritratto di Giovanna Tornabuoni» di Domenico Ghirlandaio :
 1 preparazione (gesso e colla)
 2 disegno preparatorio
 3 verde di Boemia che fa da base a tutte le parti di incarnato
 4-7 diversi strati di colore (poi completati da una mano di vernice)

Raggi X



Tubo a raggi X

Tecniche di imaging multispettrale

RADIOGRAFIA

La radiografia consente l'analisi della struttura del supporto sia per quanto riguarda la realizzazione che lo stato di conservazione e permette di trarre informazioni sulla tecnica esecutiva



VISIBILE



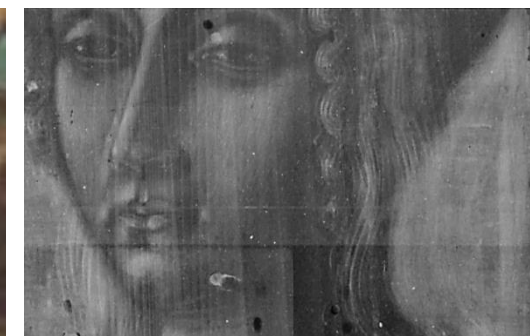
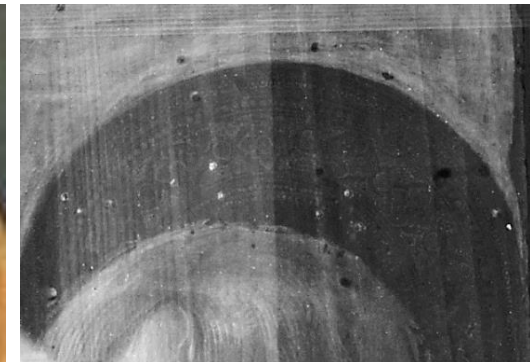
RADIOGRAFIA

Olio su tavola «Madonna con Bambino e San Giovannino» di scuola fiorentina – Accademia di San Luca (Roma)

RADIOGRAFIA



VISIBILE



RADIOGRAFIA



abete

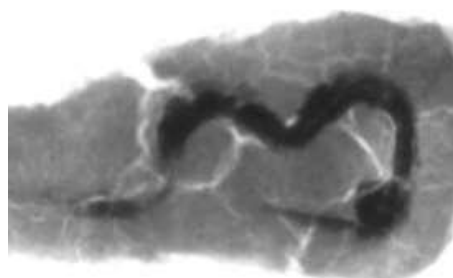


castagno

RADIOGRAFIA



Foto del pane di terra durante la radiografia



Radiografia frontale

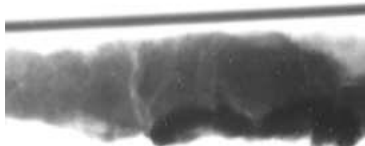


Immagine radiografica laterale



Immagine dell'oggetto dopo il restauro

Piccolo pane di terra provenienti da Crustumerium , che conteneva una fibuletta in ferro. Lo spillo della fibula ed il suo gancio sono quasi del tutto scomparsi ed anche il corpo della fibula risulta fortemente compromesso. Inoltre a causa della forte disidratazione della terra si erano formate delle fratture

Non solo dipinti....



Asse di Tiberio per il Divo Augusto (14-37 d.C.)



Quadrante di Claudio (41-54 d.C.)



Immagine visibile

Radiografia

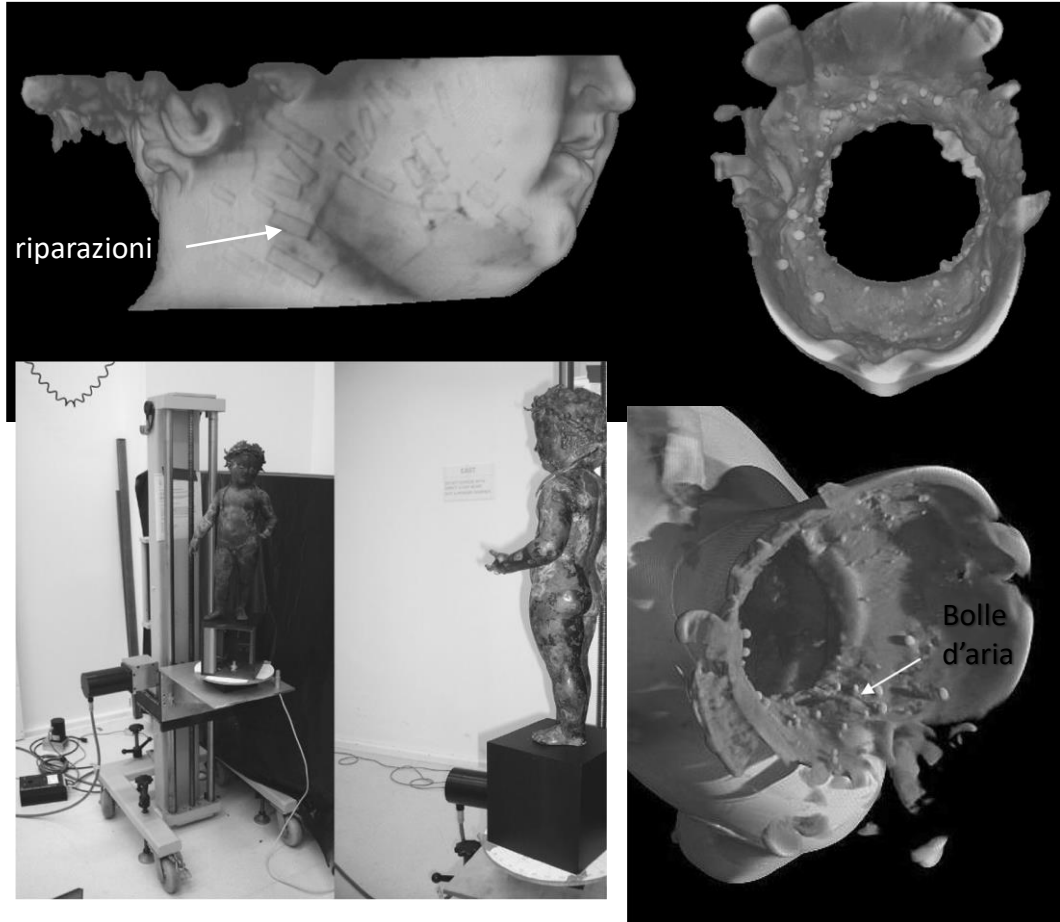
Ipotesi di attribuzione

La radiografia consente il recupero dell'impronta del conio anche in situazioni di avanzato stato di corrosione della moneta.

TOMOGRAFIE

Non solo dipinti...

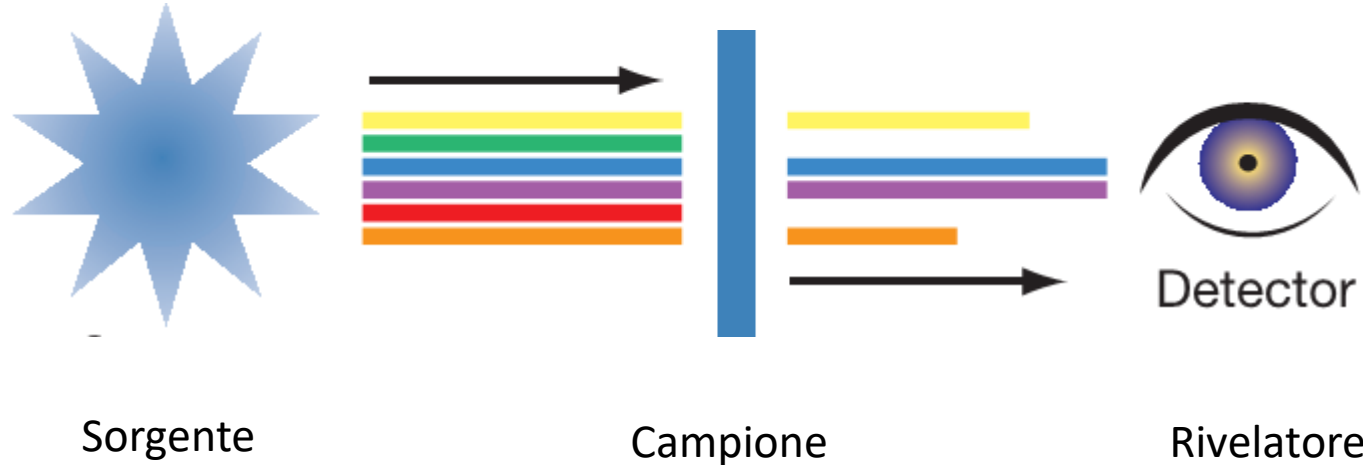
La tomografia consente lo studio dello spessore dello strato di metallo e l'identificazione di buchi, deformazioni e riparazioni.



Statua romana di bronzo Roman bronze di Cupido (96.AB.53) - Getty Museum

SPECTROSCOPIC TECHNIQUES

Le tecniche spettroscopiche

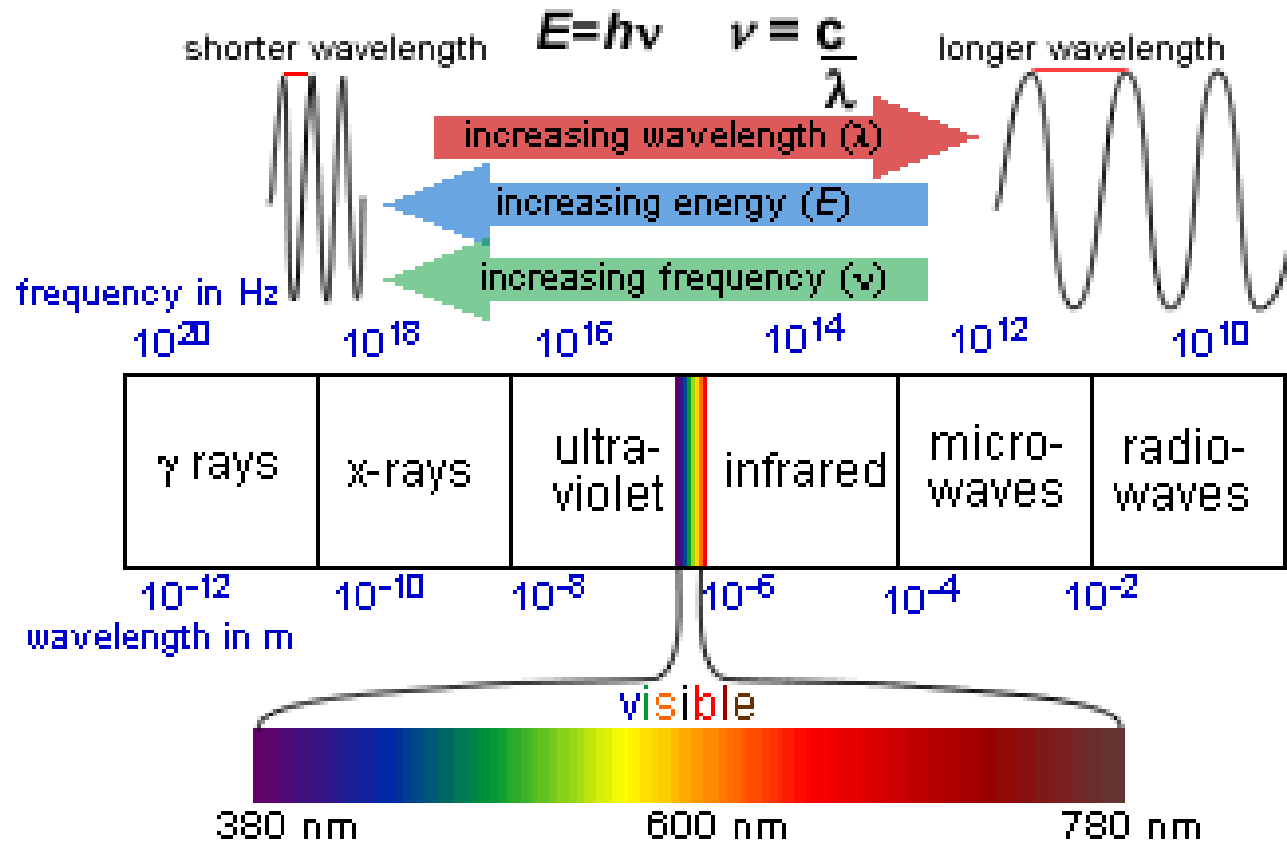


The sample absorbs some components of the incident radiation.
By analyzing the transmitted light we can obtain information on the
chemical nature of the sample

FT-IR micro spectroscopy and imaging

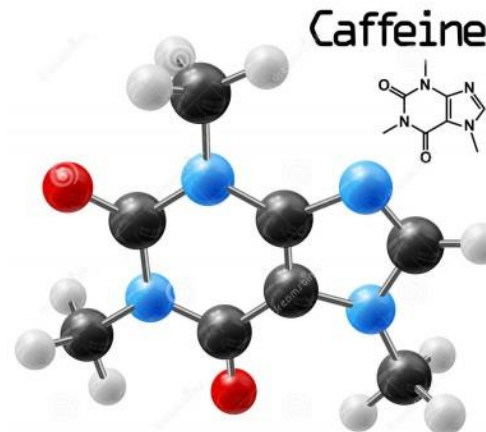
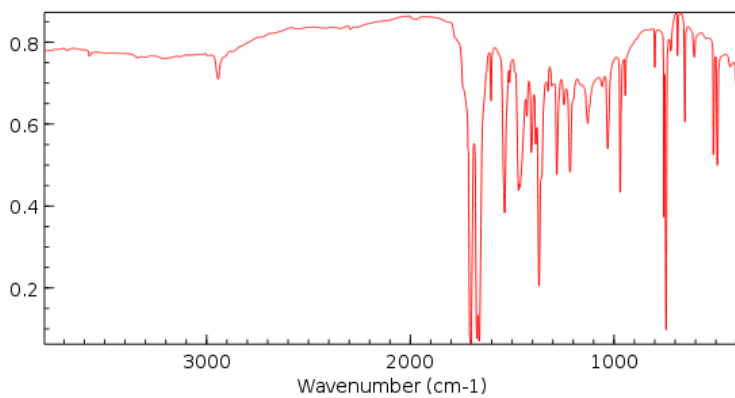


LA SPETTROSCOPIA INFRAROSSA



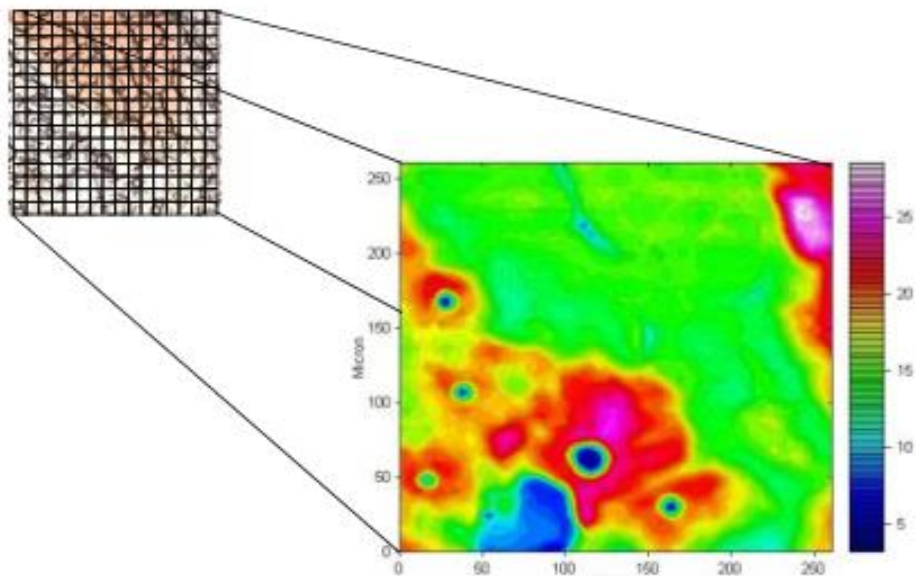


TRANSMITTANCE

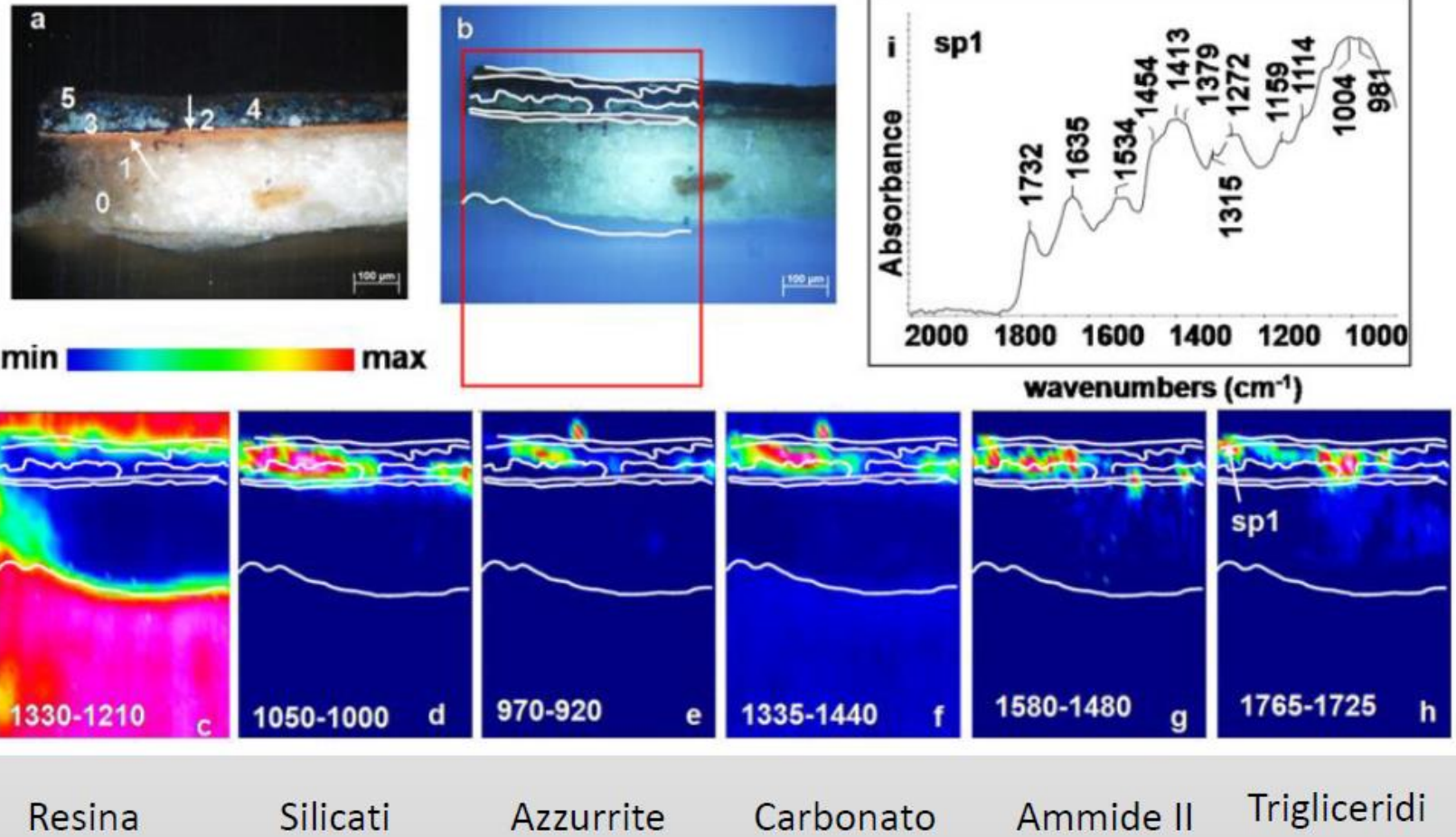


The objective of mapping and imaging is to generate an image, called a chemical image, containing spectral information, which can be superimposed on the visible image.

Depending on the detector used, it is possible to obtain a chemical image:



- Point by point (raster scan, mapping): single point detector MCT ($250 \mu\text{m}$)
- In a single shot (using matrix detectors FPA: 64×64 , 128×128 , 256×256 , pixel $40 \mu\text{m}$ size)



Analisi di sezioni stratigrafiche



Studio dei processi di degradazione
dei pigmenti gialli di Van Gogh



Universiteit
Antwerpen



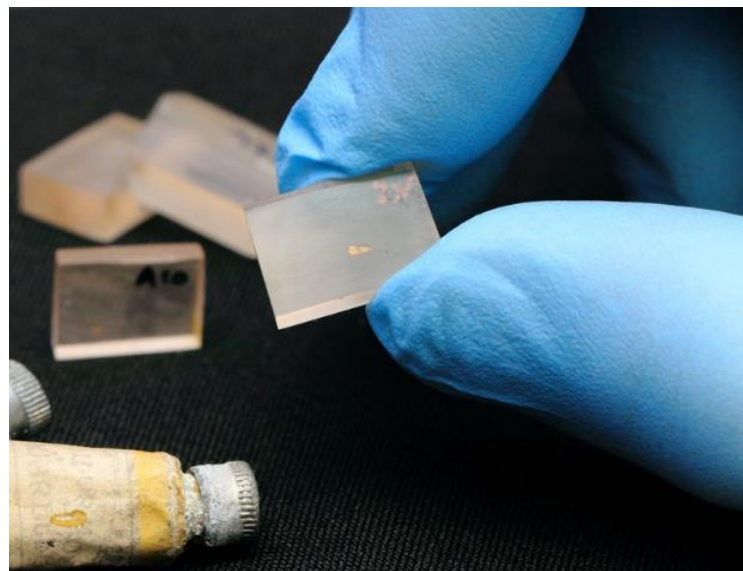
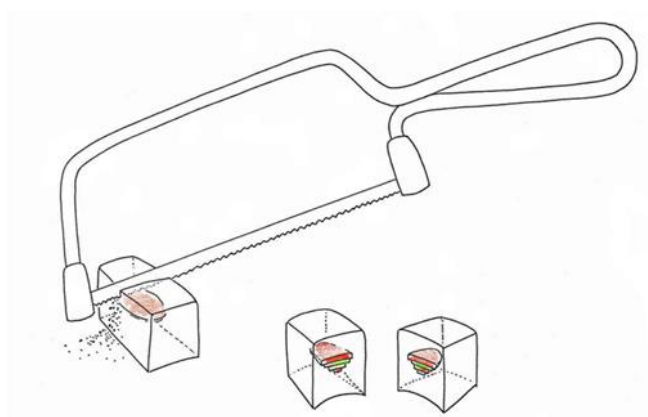
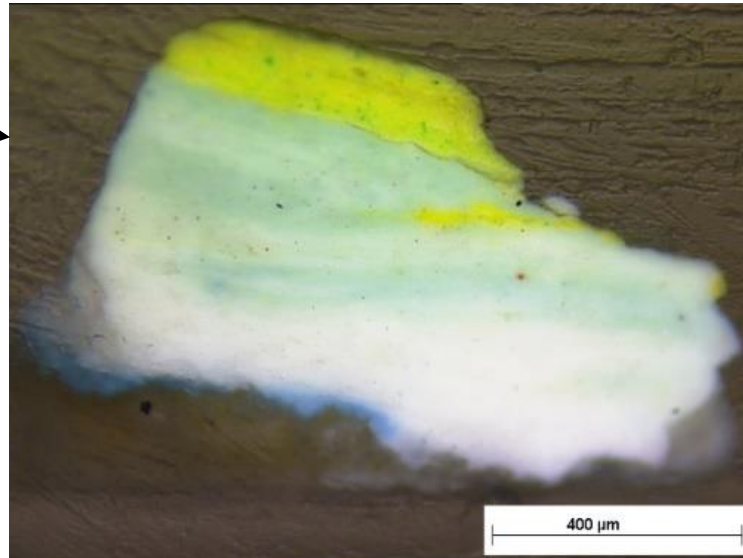
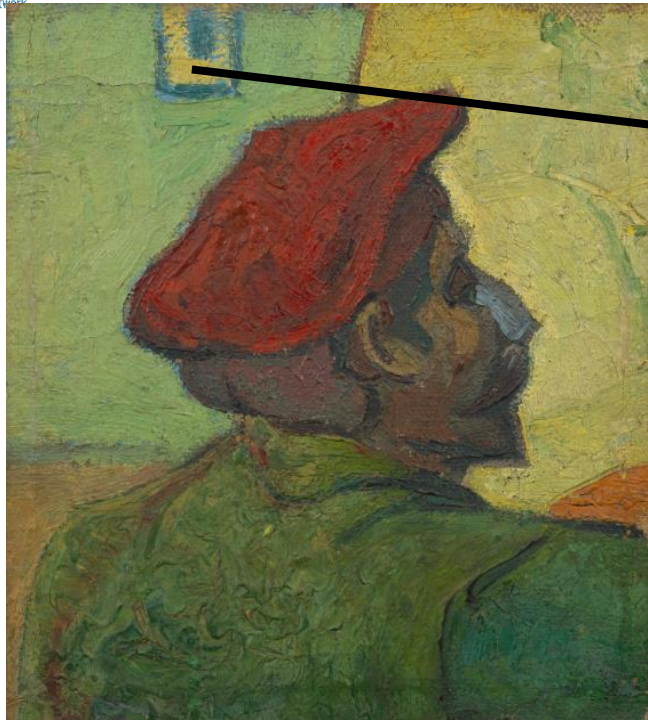
VAN GOGH
MUSEUM
AMSTERDAM



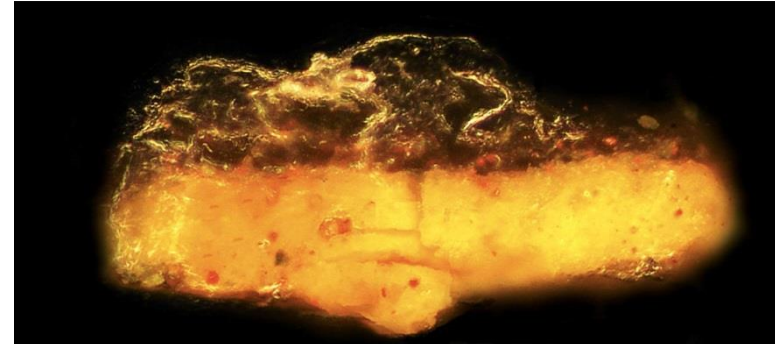
Istituto Nazionale
di Fisica Nucleare

<http://www.vangogh.ua.ac.be/>

Sezioni stratigrafiche: micro-distruttivo



Il "Girasoli" di Vincent Van Gogh

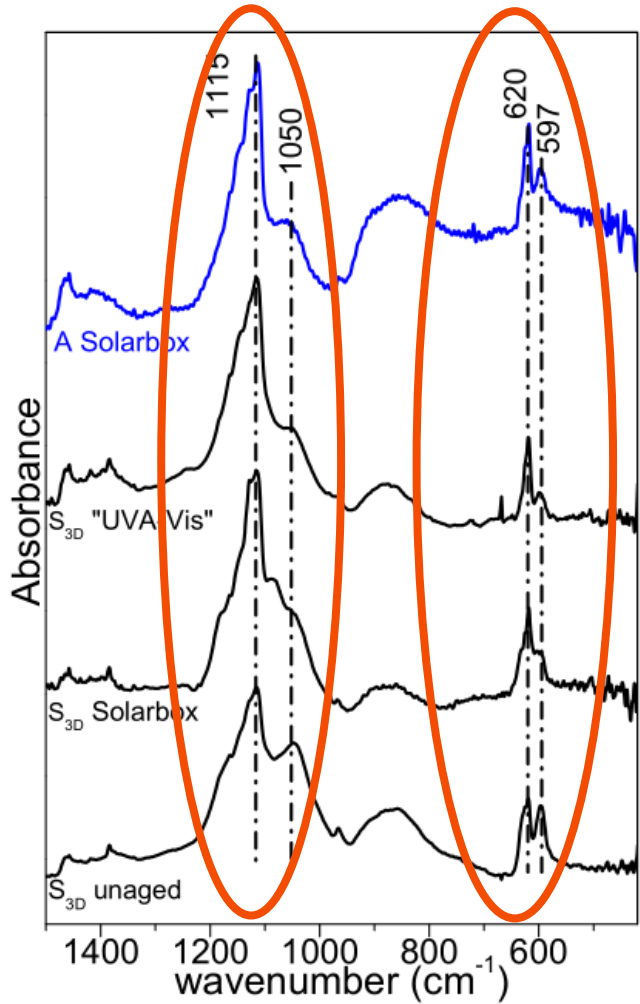


Pigmenti gialli a base di cromo
(PbCrO_4 , $\text{PbCrO}_4 \cdot x\text{PbSO}_4$, o $\text{PbCrO}_4 \cdot x\text{PbO}$)



Studio del degrado dei pigmenti gialli di Van Gogh

Il motivo dell'alterazione risiede nel cambiamento del numero di ossidazione del cromo (da Cr(VI) a Cr(III)) che avvene soprattutto in presenza di solfati e sulfuri

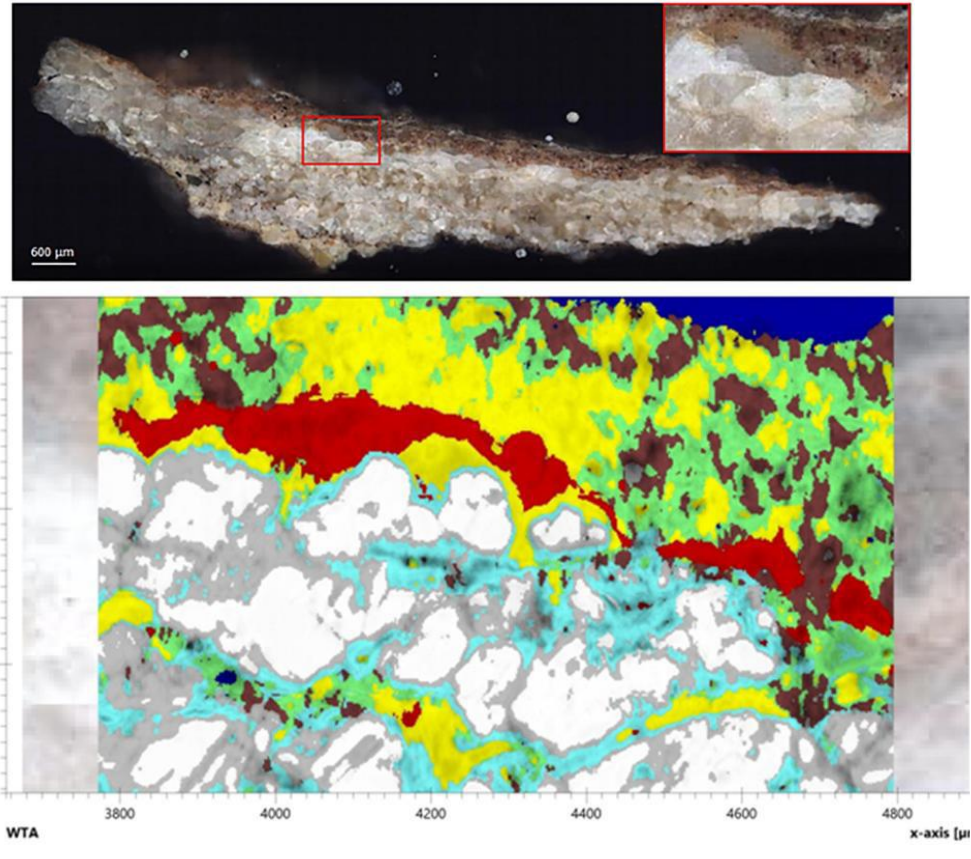


Diminuzione della banda a 1050 cm^{-1} [$\nu_1(\text{SO}_4^{2-})$] e una modifica dell'intensità relativa delle bande a 620 e 597 cm^{-1} [$\nu_4(\text{SO}_4^{2-})$]

Modifica della struttura dei solfati indica che il processo di degrado è in atto

Analisi dei prodotti di degrado

L'Arco di Settimio Severo



- █ Resin
(Cluster 1)
- █ Silicates + Gypsum
(Cluster 3-4-5 average)
- █ Gypsum
(Cluster 9)

- █ Gypsum + Silicates
(Cluster 8)
- █ Oxalate + Silicates
(Cluster 10)
- █ Gypsum + Calcite + Silicates
(Cluster 7)

- █ Calcite + Gypsum
(Cluster 6)
- Calcite
(Cluster 2)

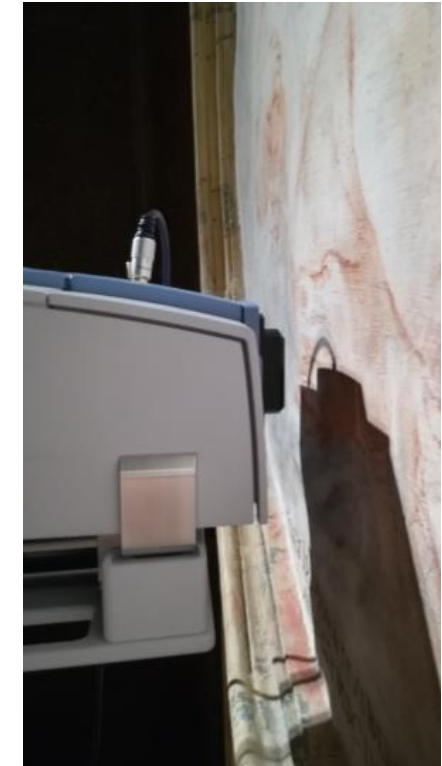
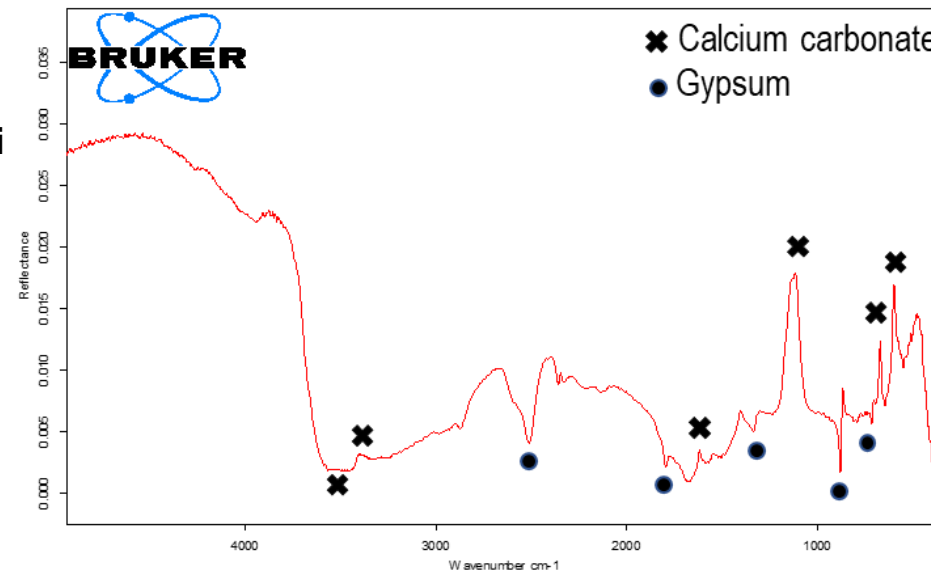
In-situ analysis

"PALAZZO CHIGI" (Ariccia, Rome)

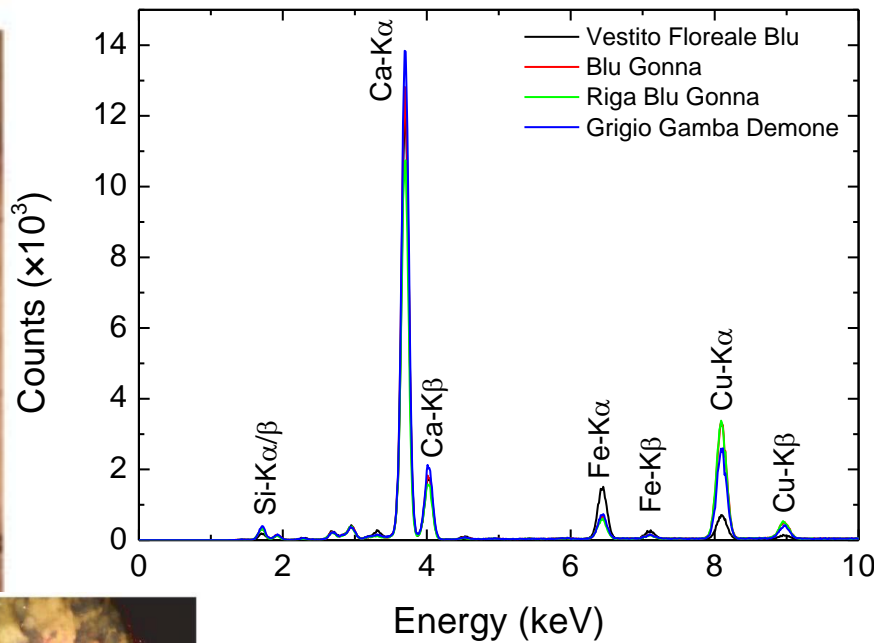


Portable Spectrometer ALPHA (Bruker)

Sanguigna (o Sinopia) di
Gian Lorenzo Bernini



XRF analyses at Tarquinia (Tomba dei Demoni Azzurri)

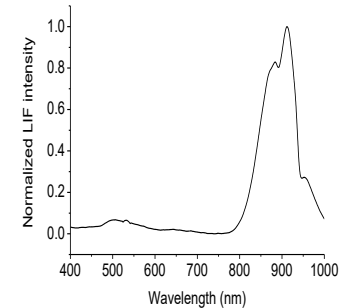
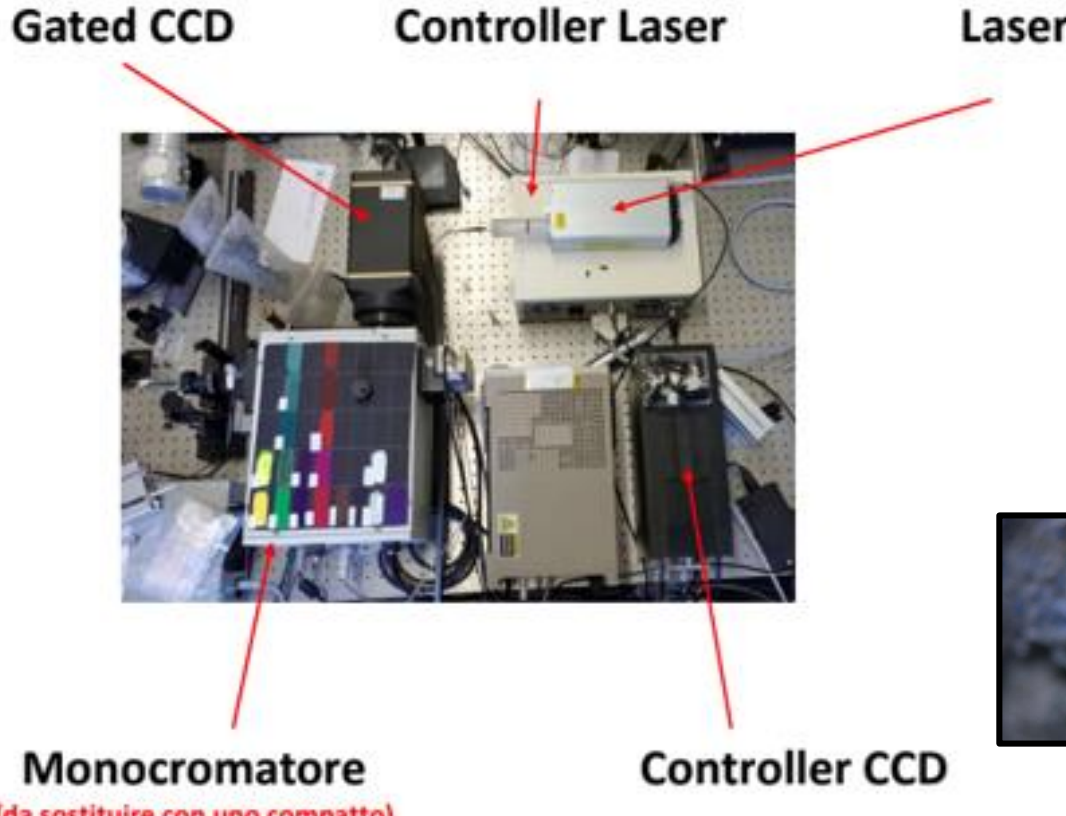


Pigmento	Identificazione
Neri	Pigmenti Organici
Blu	Cuprorivaite o Blu Egizio: $(CaCuSi_4O_{10}$ or $CaO \cdot CuO \cdot 4SiO_2$)
Rossi/Marroni	Ocre ed Ossidi di Ferro: (Rossi: ematite-Gialli: goetite)



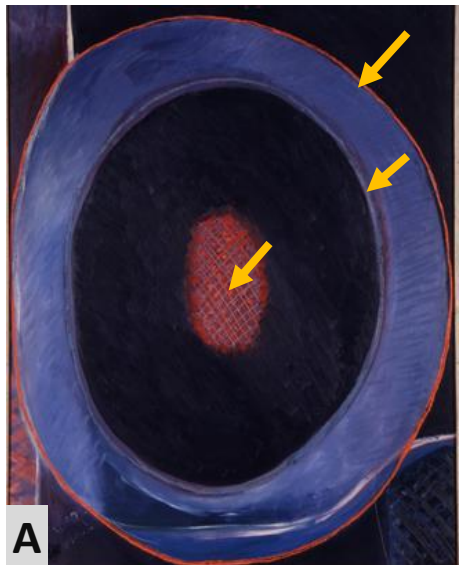
Istituto Nazionale di Fisica Nucleare
SEZIONE DI ROMA TOR VERGATA

Time Gated (TG) Laser Induced Fluorescence (LIF)



Caratterizzazione di Opere d'Arte Contemporanea

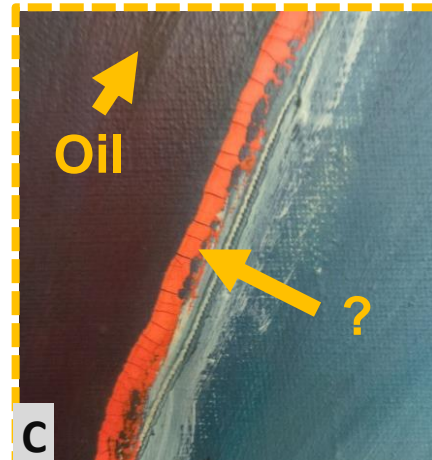
Nato Frascà, *Nascita della forma*, 1962, Museo MACRO (Roma)



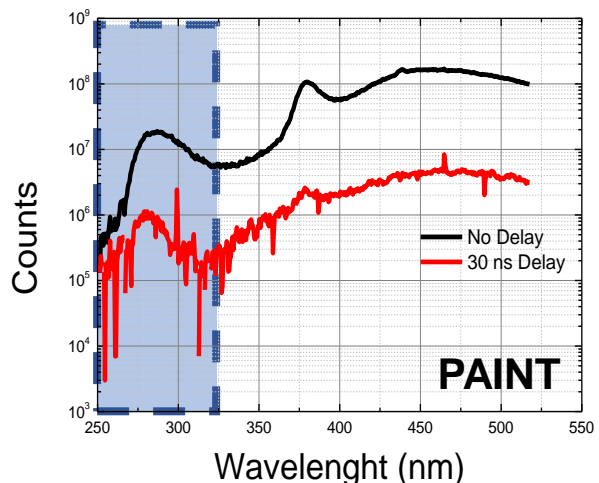
A. Foto



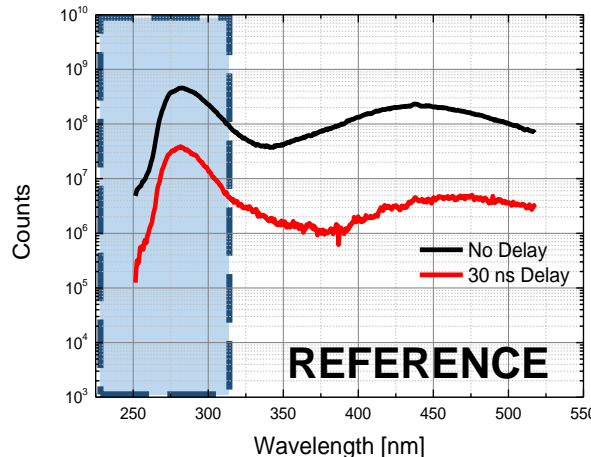
B. Fluorescenza



C. Dettaglio



PAINT



REFERENCE

Opera catalogata Olio su tela

Pigmenti blu e arancio
appaiono maggiormente
degradati

Identificazione di legante
acrilico nelle zone più
degradate

Importanza di avere un laboratorio di diagnostica nei Musei

Buy Tickets | Become a Member | Make a Donation

THE MET Visit Exhibitions Events Art Learn Join and Give Shop

Search

About The Met / Conservation and Scientific Research

Conservation and Scientific Research

Scientists and conservators collaborate with curators to study, preserve, and conserve the works in The Met collection.



Objects Conservation

Objects conservators provide for the conservation of three-dimensional works of art in The Met collection. Staff members also provide conservation support on a number of archaeological excavations, including those



Paintings Conservation

Paintings conservators support many different facets of the institution's activities, checking hundreds of paintings for loan and taking responsibility for many hundreds more that arrive at the Museum as honored guests



Paper Conservation

The Paper Conservation Department is dedicated to the preservation, technical analysis, and research of works of art on paper, parchment, and related materials from all periods and cultures held in the Museum's

Sviluppo di tecnologie avanzate: l'acceleratore portatile «MACHINA»



Corriere della Sera, 25-08-2019

Sguardi

Pittura, scultura, architettura, fotografia

Istituto di Fisica nucleare e Cern di Ginevra hanno creato **Machina**: acceleratore di particelle che indaga le opere (e scopre i falsi). Ecco



- **INFN-LNF:**
- M.Cestelli-Guidi, A. Grilli, A. Raco (FTIR and Raman analysis set-up)
- **INFN-RM2:**
- M. Marinelli, G. Verona Rinati (XRF, Multispectral Imaging, TG-LIF portable system analysis),
- **CHNet:** F. Taccetti (National Coordinator), V. Virgili (Latium Spokesperson),
- M. Cestelli-Guidi (INFN-LNF Spokesperson)

Follow us :)



<http://w3.infn.it/>



<http://chnet.infn.it/it/home-2/>

The screenshot shows the homepage of the DAFNE-LIGHT website. At the top, there is a navigation bar with links for INFN, LNF, DAFNE Storage Ring, and DAFNE-Light. Below the navigation is a header featuring a sun icon and the text "DAFNE-LIGHT INFN-LNF Synchrotron Radiation Facility". To the right of the header is a "Login" form with fields for Username and Password, and links for "Forgot your password?", "Forgot your username?", and "Create an account". On the left, there is a "Menu" sidebar with links to Home, Beamlines, Organization, Secretariat, Technical Staff, General publications, Highlights, DAFNE storage ring parameters, DAFNE status, and How to apply. The main content area features several images: a heatmap, a photograph of scientific equipment, a molecular model, a contour plot, and a large circular diagram. Below these images is the heading "DAFNE-Light" and a brief description: "DAFNE-Light is the Synchrotron Radiation Facility at the Laboratori Nazionali di Frascati (LNF). Three beamlines are operational using, in parasitic and dedicated mode, the intense photon emission of DAFNE, a 0.51 GeV storage ring with a routinely circulating electron current higher than 1 Ampere. Two of these beamlines (DXR1 and DXR2) have one of the DAFNE wiggler magnets as synchrotron radiation source, while the third beamline (SINBAD-IR) collects the radiation from a bending magnet. New XUV bending magnet beamlines are nowadays under construction." A note below states: "The beamlines DXR1 and SINBAD-IR are open to external users." At the bottom of the page, there is a copyright notice: "Copyright © 2013 Dafne_Light. All Rights Reserved. Joomla! is Free Software released under the GNU/GPL License." and a link to "Feed Entries".

https://web2.infn.it/Dafne_Light/
cestelli@lnf.infn.it